

СТРУКТУРНЫЕ ЭФФЕКТЫ И СИСТЕМАТИКИ АЛЬФА-ПЕРЕХОДОВ ДЛЯ ЯДЕР $C \leq Z \leq 90$

*В. М. Вахтель, Н. А. Головков, К. Я. Громов,
Р. Б. Иванов, С. Г. Кадменский, С. Д. Кургалин,
М. А. Михайлова, А. В. Токмаков, В. И. Фурман,
В. Г. Чумин*

Объединенный институт ядерных исследований, Дубна

На основе не R -матричного подхода к теории α -распада проведен систематический анализ существующих экспериментальных данных по вероятностям α -переходов. С использованием оболочечной модели дано последовательное объяснение влияния ядерной структуры на абсолютные и относительные вероятности α -распада. Сделан ряд теоретических предсказаний, стимулирующих новые эксперименты.

A systematic analysis of experimental data on alpha-transitions of heavy nuclei has been drawn in the frame of the non- R -matrix approach of alpha-decay theory. On the basis of the shell model the consistent explanation of the nuclear structure effects on absolute and relative probabilities of alpha-decay has been developed. Some theoretical predictions stimulating new experiments have been proposed.

ВВЕДЕНИЕ

Изучение α -распада — одно из традиционных направлений ядерной физики. Результаты соответствующих экспериментальных и теоретических исследований обобщены в ряде монографий [1—4]. Экспериментальные данные о вероятностях α -переходов вместе с их обработкой по одночастичной теории α -распада включаются в полную сводку сведений об изотопах, которые суммируются в периодически издающихся компиляциях типа [5]. Заметим, что в большинстве книг [1—3, 6] и обзоров [7, 8] для анализа и систематики данных использовалась R -матричная теория α -распада, которая, и то с определенными ограничениями, может претендовать на объяснение [9—14] относительных вероятностей α -переходов. Проблему же абсолютных вероятностей α -переходов удалось удовлетворительно поставить и решить лишь на основе не R -матричных вариантов теории α -распада [4, 15—22].

Данный обзор посвящен детальному анализу накопленных к настоящему времени экспериментальных данных с последовательным использованием аппарата и идей не R -матричной теории α -распада. Представляемый ниже материал является дополнением и развитием результатов, изложенных в монографии [4].

1. ОСНОВНЫЕ ХАРАКТЕРИСТИКИ α -РАСПАДА

1. Экспериментальные свойства α -переходов. На рис. 1 представлены ядра, для которых экспериментально обнаружен α -распад, в том числе и сравнительно недавно полученные нейтронодефицитные ядра с $Z = 52 \div 56$ [23—24]. У четверти этих ядер измерено только значение Q_α , и у 10 % приведенных на рисунке нуклидов наблюдался

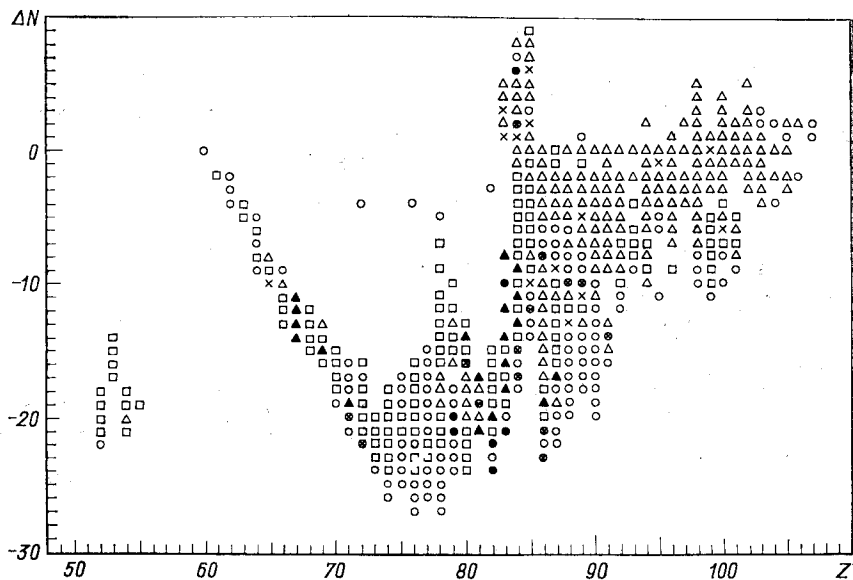


Рис. 1. Альфа-радиоактивные нуклиды. ΔN — разность числа нейтронов в данном нуклиде, отсчитанная от значения N изотопа, лежащего в долине β -стабильности:

обозначения; ○ — известны только Q_α и $T_{1/2}$; □ — $-Q_\alpha$, $T_{1/2}$, $T_{1/2}^\alpha$; △ — $-Q_\alpha$, $T_{1/2}$, $T_{1/2}^\alpha$ и обнаружена тонкая структура (т. с.) α -спектра; × — $-Q_\alpha$, $T_{1/2}$, известен α -распад изомерного состояния (m); ● — $-Q_\alpha$, $T_{1/2}$, (т. с.); × — $-Q_\alpha$, $T_{1/2}$, $T_{1/2}^\alpha$, (т. с.), (m); ▲ — $-Q_\alpha$, $T_{1/2}$, $T_{1/2}^\alpha$, (m)

α -распад их изомерных состояний. В ближайшие годы можно ожидать существенного увеличения числа идентифицированных α -излучателей в связи с развитием методов получения сильнонейтронодефицитных изотопов, в частности, в ядерных реакциях с тяжелыми ионами, а также в реакции глубокого расщепления.

Вероятность α -распада определяется энергией перехода и квантовыми характеристиками начального i (в родительском ядре ${}^A_Z X_N$) и конечного f (в дочернем ядре ${}^{A-4}_{Z-2} Y_{N-2}$) состояний. Состояние i будем характеризовать спином J_i , четностью π_i и другими квантовыми числами σ_i . При α -распаде могут заселяться как основное, так и

возбужденные состояния J_f , π_f , σ_f дочернего ядра. Поскольку α -частица имеет спин $S_\alpha = 0$, то уносимый ею момент совпадает с орбитальным моментом L относительного движения α -частицы и дочернего ядра, причем величина L с учетом законов сохранения четности и полного спина системы подчиняется следующим правилам отбора:

$$|J_i - J_f| \leq L \leq |J_i + J_f|; \quad \pi_i = (-1)^L \pi_f. \quad (1)$$

Экспериментально измеряемая энергия α -частицы E_c в канале c , определяемом квантовыми числами $c \equiv L, J_f, \pi_f, \sigma_f$, выражается через энергию Q_c относительного движения α -частицы и дочернего ядра, а также энергию экранировки $E_{\text{эк}}$:

$$E_c = (A - 4) Q_c / A - E_{\text{эк}}, \quad (2)$$

причем

$$Q_c = Q_0 + E_i^* - E_f^*, \quad (3)$$

а Q_0 соответствует переходу между основными состояниями родительского и дочерних ядер:

$$Q_0 = B_{J_{i0}\pi_{i0}\sigma_{i0}} - B_{J_{f0}\pi_{f0}\sigma_{f0}} - B_\alpha. \quad (4)$$

В формулах (3), (4) E_i^* и E_f^* — энергии возбуждения родительского и дочернего ядер; $B_{J_{i0}\pi_{i0}\sigma_{i0}}$ — энергия связи основного состояния нуклида, а $B_\alpha = +28,297$ МэВ — энергия связи α -частицы. Энергия экранировки, эВ, в (3) может быть представлена в виде [1]:

$$E_{\text{эк}} = 64,3 (Z)^{7/5} - 80 (Z)^{2/5}. \quad (5)$$

Нерегулярный характер зависимости Q_c от N и Z приближенно описывается [25, 26] полуэмпирической формулой масс ядер с включением оболочечных поправок. Наличие минимума в значениях Q_0 при $Z = 82$ и $N = 124$ и увеличение Q_0 при переходе из долины β-стабильности к нейтронодефицитным ядрам определяет резкую асимметрию в числе изученных α -распадных ядер с $\Delta N > 0$ и $\Delta N < 0$, отображенную на рис. 1.

Парциальная ширина α -распада Γ_c в канал c выражается через полный период полураспада $T_{1/2}$ состояния родительского ядра соотношением

$$\Gamma_c = \frac{\hbar \ln 2}{T_{1/2}} \frac{\alpha}{100} \frac{\alpha_c}{100} \equiv \frac{\hbar \ln 2}{T_{1/2c}^{(\alpha)}}, \quad (6)$$

где α — полная доля α -распада; $\alpha_c = \Gamma_c / \Gamma_\alpha$ — доля данного канала c от полной ширины α -распада $\Gamma_\alpha = \sum_c \Gamma_c$ (α и α_c выражены в процентах).

2. Одночастичная модель α -распада и закон Гейгера — Неттоля. Для α -переходов между основными состояниями четно-четных ядер Гейгером и Неттолом обнаружена эмпирическая закономерность, свя-

зывающая парциальный период полураспада $T_{1/2}^{(\alpha)}$ и энергию Q_0 :

$$\lg T_{1/2}^{(\alpha)} = A(Z) + B(Z)/\sqrt{Q_0}, \quad (7)$$

где $A(Z)$ и $B(Z)$ — величины, не зависящие от Q_0 . На рис. 2, а приведена линейная зависимость $\lg T_{1/2}^{(\alpha)}$ от $Q_0^{-1/2}$ для изотопов Hg, Pt, Po, Rn, Ra, Th. Следует подчеркнуть, что для цепочек изотопов Po, Rn, Ra, Th, у которых число нейтронов проходит через $N = 126$,

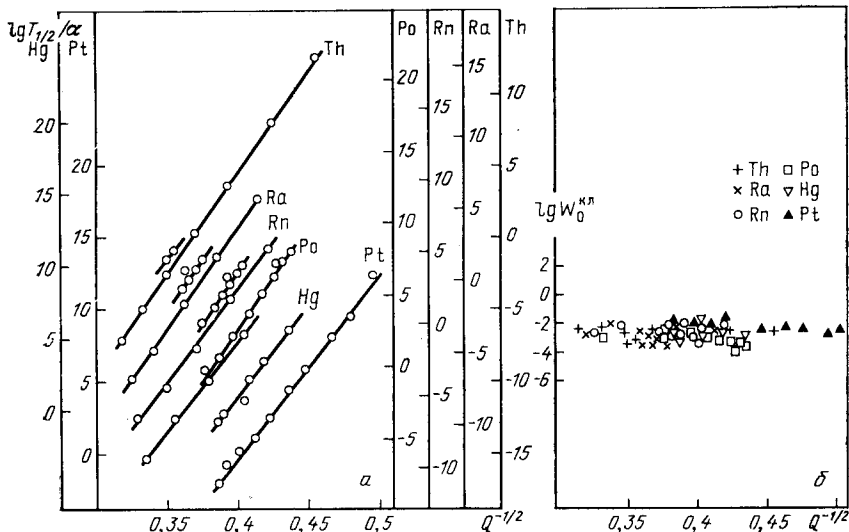


Рис. 2. Зависимость от энергии α -распада парциального периода полураспада $T_{1/2}^{(\alpha)}$ (а) и кластерных спектроскопических факторов W_0^{KL} (б) для некоторых четно-четных изотопов

наблюдается две ветви прямых (7), отличающихся как факторами наклона $B(Z)$, так и значениями $A(Z)$, т. е. на самом деле величины A и B в (7) зависят не только от Z , но и от N .

Качественное объяснение закона Гейгера — Неттоля было получено в [27, 28] на основе одночастичного варианта теории α -распада, в котором парциальная ширина Γ_c имеет вид

$$\Gamma_c = \hbar v_c P_c, \quad (8)$$

где v_c — частота «ударов» α -частицы о потенциальный барьер, а P_c — вероятность прохождения точечной α -частицы через него. В квазиклассическом приближении для $L = 0$ величина P_c имеет вид [2]:

$$P_c = \exp \left(-2\pi\eta + 2\eta \arccos \frac{\eta - \rho}{\eta} + 2\rho \tilde{k} \right), \quad (9)$$

где

$$\rho = k_c R_c, \quad \tilde{k} = (2\eta/\rho - 1)^{1/2}, \quad \eta = 2Ze^2/\hbar v_c,$$

а k_c , v_c и R_c — волновое число, скорость и радиус канала c соответственно. При подстановке (8) и (9) в (6) и последующем логарифмировании возникает выражение, близкое по форме к (7) при условии постоянства величины v_c [2, 3].

3. Структурные эффекты в α -распаде и экспериментальные факторы запрета. Если попытаться построить зависимость типа закона Гейгера — Неттола для α -переходов из основных состояний нечетных и нечетно-нечетных ядер, а также для α -переходов из возбужденных состояний родительских ядер или на возбужденные состояния дочерних ядер, то соответствующие точки, во-первых, не лягут на линии, отвечающие α -переходам между основными состояниями четно-четных ядер, и, во-вторых, распределение этих точек будет носить нерегулярный характер. Это означает, что величина v_c в формуле (8) существенно зависит от структуры состояний ядер, связываемых α -переходом. Для количественной характеристики указанной зависимости обычно используются так называемые факторы запрета, стандартное определение которых имеет вид [1—3, 5]:

$$F_L(\text{ч. ч.}) = \frac{\Gamma_0(\text{ч. ч.})}{\Gamma_c(\text{ч. ч.})}; \quad (10)$$

$$F_L^N(\text{ч. н.}) = \frac{\Gamma_0(\text{ч. н.} - 1) + \Gamma_0(\text{ч. н.} + 1)}{2\Gamma_c(\text{ч. н.})}; \quad (11)$$

$$F_L^Z(\text{н. ч.}) = \frac{\Gamma_0(\text{н.} - 1, \text{ч.}) + \Gamma_0(\text{н.} + 1, \text{ч.})}{2\Gamma_c(\text{н. ч.})}; \quad (12)$$

$$F_L^{NZ}(\text{н. н.}) = \frac{\Gamma_0(\text{н.} - 1, \text{н.} - 1) + \Gamma_0(\text{н.} + 1, \text{н.} + 1) + \Gamma_0(\text{н.} - 1, \text{н.} + 1) + \Gamma_0(\text{н.} + 1, \text{н.} - 1)}{4\Gamma_c(\text{н. н.})}, \quad (13)$$

где первый (второй) индекс ч или н указывает на четность или нечетность числа протонов (нейтронов) родительского ядра.

В формулах (10)–(13) Γ_c — экспериментальная парциальная ширина для исследуемого канала α -распада c , а Γ_0 — ширина, рассчитываемая по формуле (7), при подстановке в нее значений Z и Q_c , соответствующих изучаемому α -переходу. В общем случае для всех α -переходов рассчитываются факторы запрета F_0 в предположении, что $L = 0$. Когда известны значения L , вычисляются также приведенные факторы запрета F_L , учитывающие влияние центробежного барьера на ширину Γ_c .

По значениям F_0 все α -переходы можно разделить на три основные группы. К первой группе относятся α -переходы с $L = 0$ и $F_0 \leq 5$, называемые облегченными. Вторую группу образуют α -переходы с $L \neq 0$ и $3 < F_0 \leq 100$, называемые полуоблегченными. Третья группа включает α -переходы с $L \neq 0$, $10 < F_0 < 1000$ и соответствует необлегченным α -переходам.

Кроме указанных групп экспериментально наблюдаются α -переходы со значениями $F_0 = 10^4 \div 10^7$, соответствующие так называемым конфигурационно запрещенным α -переходам.

Заметим, что последовательное объяснение классификации α -переходов по степени облегченности стало возможным лишь после появления многочастичных вариантов теории α -распада. Действительно, с точки зрения одиночастичной теории (8) факторы запрета F_L (10)–(13) выражаются через отношения частот v_c для облегченных и исследуемых переходов. Тот факт, что значения v_c меняются на три порядка (и более!), в принципе, не может быть понят в рамках одночастичного подхода. Для объяснения поведения v_c необходимо последовательно учесть влияние структуры состояния родительского и дочернего ядер на ширину Γ_c .

Исторически первым многочастичным вариантом теории α -распада был R -матричный вариант, в котором на основе теории ядерных реакций при низких энергиях [29] было получено следующее выражение для ширины α -распада [30]:

$$\Gamma_c = 2k_c \frac{1}{\bar{G}_c^2(R_c)} \gamma_c^2(R_c), \quad (14)$$

где $\bar{G}_c(R_c)$ — нерегулярное решение одночастичного уравнения Шредингера, учитывающего, кроме кулоновского, еще и ядерное взаимодействие α -частицы с дочерним ядром; $\gamma_c(R_c)$ — амплитуда приведенной ширины α -распада, выраженная через определенный ниже формулой (16) α -частичный формфактор $\psi_c(R_c)$ соотношением

$$\gamma_c(R_c) = \frac{\hbar}{\sqrt{2MR_c}} \psi_c(R_c), \quad (15)$$

где M — приведенная масса α -частицы; R_c — «радиус» канала c .

Используя в формуле (14) экспериментальные значения Γ_c и рассчитывая функцию $\bar{G}_c(R_c)$, можно получить значения $\gamma_c^2(R_c)$ и с их помощью провести классификацию α -переходов. В настоящее время широко используются две схемы расчета $\gamma_c^2(R_c)$. Если в качестве R_c выбрать значение, соответствующее внутренней точке поворота, а величину $\bar{G}^2(R_c)$ рассчитать квазиклассически с учетом ядерного потенциала взаимодействия α -частицы с дочерним ядром, то $\gamma_c^2(R_c)$ окажется пропорциональной величине $\delta_c^2(R_c)$, полученной в работе [10].

В другом варианте [7] получения приведенных ширин $\gamma_c^2(R_c)$ значение R_c выбирается в виде $R_c = 1,55 A^{1/3}$ фм, а функция $\bar{G}_c(R_c)$ заменяется нерегулярной кулоновской функцией $G_c(R)$, которая рассчитывается по квазиклассическим формулам.

Наибольшие значения $\gamma_c^2(R_c)$ получаются для облегченных α -переходов между основными состояниями четно-четных ядер. Относительное замедление всех остальных α -переходов в рамках R -матричной теории характеризуют факторами запрета NF_0^R [6], опреде-

ляемыми формулами (10)–(13), в которых величины Γ_c и Γ_0 должны быть заменены соответствующими приведенными ширинами $\gamma_c^2(R_c)^0$. При этом абсолютные значения и иерархия по типам α -переходов факторов запрета HF_0^R находятся в разумном согласии с аналогичными характеристиками введенных выше факторов запрета F .

Поведение величин $\gamma_c^2(R_c)^0$ в зависимости от N , Z и типа α -перехода, а следовательно, и поведение факторов запрета HF_0^R могут быть сопоставлены с соответствующими зависимостями теоретических величин $\gamma_c^2(R_c)^{0b}$ и HF_0^{0b} , рассчитанными с помощью многочастичной оболочечной модели. Однако при таком сопоставлении необходимо иметь в виду, что $\gamma_c^2(R_c)^0$ (14) последовательно определены в области значений R_c , где α -частица и дочернее ядро полностью сформированы (кластерная область). В то же время теоретические приведенные ширины $\gamma_c^2(R_c)^{0b}$ могут быть корректно рассчитаны в области сильного перекрывания фрагментов α -распада, где они сливаются в родительское ядро, теряя свою индивидуальность (оболочечная область).

Поскольку кластерная и оболочечная области не перекрываются, то невозможно выбрать единое значение R_c , при котором $\gamma_c^2(R_c)^0$ и $\gamma_c^2(R_c)^{0b}$ одновременно корректно определены. Поэтому обычно используемые в R -матричной теории рецепты [1–3] выбора радиуса R_c , лежащего в кластерной области (см. выше), хотя и объясняют относительное (по Z , N и типу α -перехода) поведение $\gamma_c^2(R_c)^0$, но не позволяют воспроизвести их абсолютные значения из-за нефизической экстраполяции $\gamma_c^2(R_c)^{0b}$ за пределы оболочечной области.

Для решения проблемы описания абсолютных и относительных вероятностей α -распада целесообразно рассмотреть α -частичный формфактор ψ_c , определяющий амплитуду приведенной ширины во всей области изменения переменной R , и на этой основе построить [15–22] рецепт интерполяции $\psi_c(R)$ между оболочечной и кластерной областями.

2. КЛАСТЕРНЫЕ И ОБОЛОЧЕЧНЫЕ ФОРМФАКТОРЫ И СПЕКТРОСКОПИЧЕСКИЕ ФАКТОРЫ α -ЧАСТИЦ

1. Альфа-частичный формфактор и спектроскопический фактор. Определим α -частичный формфактор для канала с следующим образом [19, 20]:

$$\psi_c(R) \equiv \left\langle \hat{A} \left\{ \frac{\delta(R-R')}{R} u_c^{\pi_i J_i M_i} \right\} \middle| \psi_{\sigma_i}^{\pi_i J_i M_i} \right\rangle, \quad (16)$$

где $\psi_{\sigma_i}^{\pi_i J_i M_i}$ — внутренняя волновая функция родительского ядра; u_c — каналовая функция;

$$u_c^{\pi_i J_i M_i} = [\psi_{\sigma_f}^{\pi_f J_f M_f} \chi_{\alpha} Y_{LM_L}(\Omega_R)]_{J_i M_i}, \quad (17)$$

причем χ_{α} — внутренняя волновая функция α -частицы; $Y_{LM_L}(\Omega_R)$ — шаровая функция, описывающая относительное движение α -частицы

и дочернего ядра; символ $[]_{J_i M_i}$ означает векторную связь моментов дочернего ядра и α -частицы. В (16) \hat{A} — оператор антисимметризации между нуклонами α -частицы и дочернего ядра; символ $\langle | \rangle$ означает интеграцию по полному набору переменных ядра ${}^A_Z X_N$, включая модуль R' . Для $R \leq R_1$, где точка R_1 лежит в подбарьерной области левее внешней кулоновской точки поворота и определяется условием $G_c(R_1) \gg F_c(R_1)$ [$F_c(R)$ — регулярная кулоновская функция], формфактор $\psi_c(R)$ имеет вид

$$\psi_c(R) = \sqrt{\frac{\Gamma_c}{\mu c}} G_c(R). \quad (18)$$

Для глубокоподбарьерного α -распада все конфигурационное пространство, в котором определена функция $\psi_{\sigma_i}^{\pi_i J_i M_i}$, описывающая квазистационарное состояние α -распадного ядра, можно разбить на три области [19, 20], связанные с различными значениями переменной R . Первая область ($0 \leq R < R_{\text{об}} \approx R_A$), называемая оболочечной, соответствует внутренней области родительского ядра, в которой справедливы представления оболочечной модели со смешиванием конфигураций и дискретным одночастичным базисом. Вторая область ($R_{\text{кл}} < R \leq R_1$), называемая кластерной, соответствует внешней, поверхности областии родительского ядра, где полностью сформированы фрагменты α -распада. Наконец, третья область (промежуточная) ($R_{\text{об}} < R < R_{\text{кл}}$) соответствует самой сложной с теоретической точки зрения ситуации — в этой области представления оболочечной модели с ограниченным базисом уже не применимы, и в то же время еще не справедливо представление о полностью сформировавшихся фрагментах α -распада. Проведя такое разбиение, точный α -частичный формфактор (16) можно представить в виде суммы

$$\psi_c(R) = \psi_c^{\text{об}}(R) + \psi_c^{\text{пр}}(R) + \psi_c^{\text{кл}}(R), \quad (19)$$

где оболочечный $\psi_c^{\text{об}}(R)$, промежуточный $\psi_c^{\text{пр}}(R)$ и кластерный $\psi_c^{\text{кл}}(R)$ формфакторы отличны от нуля в соответствующих областях переменной R .

Отсюда полный α -частичный спектроскопический фактор

$$W_c = \int_0^{R_1} \psi_c(R)^2 dR \quad (20)$$

аналогично (19) можно представить [19, 20] в виде суммы трех спектроскопических факторов $W_c^{\text{об}}$, $W_c^{\text{пр}}$ и $W_c^{\text{кл}}$, каждый из которых определяется формулой типа (20) в соответствующей области.

2. Формфактор и спектроскопический фактор α -частицы в кластерной области. В кластерной области волновая функция α -распадного

ядра выражается [19, 20] формулой

$$\psi_{\sigma_i}^{\pi_i J_i M_i} = \sum_c \hat{A} \left\{ \frac{u_c^{\pi_i J_i M_i} \psi_c^{\text{кл}}(R)}{R} \right\}, \quad (21)$$

где кластерный формфактор $\psi_c^{\text{кл}}(R)$ при пренебрежении связью каналов α -распада удовлетворяет одночастичному уравнению Шредингера

$$\left\{ -\frac{\hbar^2}{2M} \frac{d^2}{dR^2} + \frac{\hbar^2 L(L+1)}{2MR^2} + V_{\alpha A}^{\text{кул}}(R) + V_{\alpha A}^{\text{яд}}(R) - Q_c \right\} \psi_c^{\text{кл}}(R) = 0 \quad (22)$$

с граничным условием

$$\psi_c^{\text{кл}}(R) \xrightarrow[R \rightarrow R_1]{} \sqrt{\frac{\Gamma_c k_c}{2Q_c}} G_c(R). \quad (23)$$

В (22) $V_{\alpha A}^{\text{кул}}(R)$ и $V_{\alpha A}^{\text{яд}}(R)$ — кулоновский и ядерный потенциалы взаимодействия α -частицы с дочерним ядром. Если в (23) использовать экспериментальное значение Γ_c , то, интегрируя уравнение (22) от точки R_1 до $R = R_{\text{кл}}$, можно рассчитать формфактор $\psi_c^{\text{кл}}(R)$ и кластерный спектроскопический фактор $W_c^{\text{кл}}$.

Ниже при расчетах $\psi_c^{\text{кл}}(R)$ и $W_c^{\text{кл}}$ в качестве $V_{\alpha A}^{\text{яд}}(R)$ используется вещественная часть феноменологического оптического потенциала [35], хорошо описывающего [32, 33] взаимодействие α -частиц с ядрами при глубокоподбарьерных энергиях [34]:

$$V_{\alpha A}^{\text{яд}}(R) = V_0 (1 + \exp [(R - R_A)/a])^{-1}, \quad (24)$$

где $V_0 = -177,3$ МэВ; $R_A = 1,34 A^{1/3}$ фм; $a = 0,57$ фм.

Значение $R_{\text{кл}}$, фм, выбирается в виде

$$R_{\text{кл}} = (1,25 A^{1/3} + 1,3), \quad (25)$$

в соответствии с соображениями, подробно рассмотренными в [4, гл. 5].

3. Кластерные формфакторы и спектроскопические факторы с учетом связи различных каналов α -распада. При расчете кластерных спектроскопических факторов для α -переходов в сферических и, особенно, деформированных ядрах возникает проблема учета поляризуемости дочернего ядра, которую можно свести в первом приближении к учету связи каналов α -распада на уровне коллективной природы в спектре возбуждений дочернего ядра. Такая проблема решалась в ряде работ [36, 37] в связи с определением относительных вероятностей α -распада на вибрационные и ротационные состояния дочернего ядра. При этом все вычисления проводились с использованием только несферического кулоновского потенциала, ядерное же взаимодействие α -частиц с дочерним ядром эффективно учитывалось заданием граничных условий на поверхности ядра.

В общем случае уравнение (22) для кластерного формфактора $\Psi_c^{kl}(R)$ при учете связи каналов перейдет в систему связанных уравнений [36, 37]. Для сферических ядер существенной оказывается только связь сильно коллективизированных вибрационных состояний, которую можно учесть в рамках приближения слабой связи [38]. Для деформированных ядер необходимо учитывать и связь ротационных состояний в приближении сильной связи [38].

Расчеты W_c^{kl} , проведенные в [39] для сферических четно-четных ядер, показали, что если в дочерних ядрах энергия возбуждения E_{2+} коллективного 2^+ -уровня больше 450 кэВ, то включение связи каналов приводит к значениям W_c^{kl} , близким к получаемым без учета связи каналов. В то же время для дочерних ядер с $E_{2+} < 450$ кэВ учет связи каналов приводит к заметному (до 3 раз для $W_{L=0}^{kl}$ и до 10 раз для $W_{L=2}^{kl}$) уменьшению кластерных спектроскопических факторов.

Включение связи каналов для α -распада на ротационные состояния четно-четных деформированных ядер приводит к аналогичным результатам [40]: кластерные спектроскопические факторы W_L^{kl} уменьшаются по сравнению со значениями W_L^{kl} , рассчитанными в предположении отсутствия деформации и связи каналов, на факторы 2–4 для $L = 0$ и 5–7 для $L = 2$.

Ниже при классификации α -переходов будут использованы значения W_c^{kl} , рассчитанные без учета связи каналов. Для детального анализа конкретных α -переходов следует рассматривать спектроскопические факторы, полученные с включением связи каналов.

4. Альфа-частичный формфактор в оболочечной области. Для объяснения влияния структуры родительского и дочернего ядер на вероятности α -переходов естественно привлечь оболочечную модель, успехи которой в описании характеристик основных и возбужденных состояний ядер, а также вероятностей различных переходов между ними общеизвестны [6, 38].

Оболочечный формфактор α -частицы для сферических ядер в схеме $j - j$ -связи может быть представлен в виде [19, 20]:

$$\begin{aligned} \Psi_c^{ob}(R) = & \sum_{\substack{P_i N_i \\ P_f N_f}} \left(\frac{A}{A-4} \right)^{N_0/2} (-1)^{N_0} (\hat{J}_{P_i} \hat{J}_{N_i} \hat{J}_f \hat{L} \hat{J}_P \hat{J}_N \hat{j}_1 \hat{j}_2 \hat{j}_3 \hat{j}_4)^{1/2} \times \\ & \times \left\{ \begin{array}{c} J_{P_f} \quad J_{N_f} \quad J_f \\ J_P \quad J_N \quad L \\ J_{P_i} \quad J_{N_i} \quad J_i \end{array} \right\} \left\{ \begin{array}{c} l_1 \quad 1/2 \quad j_1 \\ l_2 \quad 1/2 \quad j_2 \\ J_P \quad 0 \quad J_P \end{array} \right\} \left\{ \begin{array}{c} l_3 \quad 1/2 \quad j_3 \\ l_4 \quad 1/2 \quad j_4 \\ J_N \quad 0 \quad J_N \end{array} \right\} \times \\ & \times \sqrt{2 - \delta_{j_1 j_2}} \sqrt{2 - \delta_{j_3 j_4}} B_{PNL}(R) A_{P_i N_i} A_{P_f N_f}^* G_P G_N, \end{aligned} \quad (26)$$

где $A_{P_i N_i}$ ($A_{P_f N_f}$) — коэффициент смешивания конфигураций в родительском (дочернем) ядре; G_P (G_N) — двухчастичный протон-

ный (нейтронный) генеалогический коэффициент; $\hat{J} = 2J + 1$; $\{\dots\} - 9_j$ -символ; множитель $(A/(A - 4))^{N_0/2}$ связан с исключением движения центра тяжести родительского ядра, причем N_0 равно главному осцилляторному квантовому числу отделяемой конфигурации четырех нуклонов, формирующих α -частицу. В формуле (26) функция $B_{PNL}(R)$ определена соотношением [19]:

$$B_{PNL}(R) = R \int D d\xi_1 d\xi_2 d\xi_3 d\Omega_R \chi_\alpha(\xi_1, \xi_2, \xi_3) \times \\ \times \prod_{k=1}^4 R_{j_k}(r_k) [[Y_{l_1}(\Omega_{r_1}) Y_{l_2}(\Omega_{r_2})]_{J_p}^* [Y_{l_3}(\Omega_{r_3}) Y_{l_4}(\Omega_{r_4})]_{J_N}^*]_{LM}, \quad (27)$$

где $R_{j_k}(r_k)$ — радиальная одиночичная оболочечная функция для состояния $j \equiv nlj$; $\chi_\alpha(\xi_1, \xi_2, \xi_3)$ — внутренняя радиальная волновая функция α -частицы; D — якобиан замены при переходе от переменных r_1, r_2, r_3, r_4 к переменным ξ_1, ξ_2, ξ_3, R .

5. Эффекты спаривания нуклонов и классификация α -переходов. Впервые на важность учета парных корреляций при рассмотрении абсолютных вероятностей α -распада было указано в [41], где для облегченных α -переходов в деформированных ядрах на основе сверхтекучей модели атомного ядра [6] были получены факторы усиления ($10^3 - 10^4$) и обоснована классификация α -переходов по степени их облегченности. В [42] сверхтекучая модель ядра была использована при расчете ширин α -распада деформированных ядер в рамках R -матричного подхода.

Необходимость учета сверхтекущих корреляций для понимания относительного хода ширины α -распада в сферических ядрах была продемонстрирована в [12] на примере изотопов полония. Позже было показано [17–19], что эффекты сверхтекущих корреляций в сферических ядрах также приводят к большим значениям коэффициентов усиления (до 10^3) спектроскопических факторов α -частиц, что позволяет объяснить классификацию α -переходов и в этих ядрах. На основе теории конечных ферми-систем [45] в [19, 43, 44] было обнаружено значительное (до 10^2) усиление вероятностей облегченных α -переходов в окромагнитических ядрах (типа «маг ± 2 » нуклона), обусловленное эффектами спаривания, что существенно превышает аналогичное усиление, полученное ранее в [13]. Заметим, что позже в [46] был подтвержден факт большого спаривательного усиления для вероятности α -перехода $0^+ - 0^+$ в ядре ^{212}Po .

Возникает вопрос, какова причина столь большого влияния парных корреляций на оболочечные спектроскопические факторы α -частиц. Дальнейшее рассмотрение удобно провести на примере облегченных α -переходов $0^+ - 0^+$ в сферических четно-четных ядрах. В этом случае $J_i = J_{P_i} = J_{N_i} = J_f = J_{P_f} = J_{N_f} = J_P = J_N = L = 0$; $j_1 = j_2; j_3 = j_4$ и формула (26) для оболочечного формфактора

существенно упрощается:

$$\Psi_c^{06}(R) = \left(\frac{A}{A-4}\right)^{N_0/2} (-1)^{N_0} \sum_{j_1, j_3} G_{j_1} G_{j_3} B_{j_1 j_3 0}(R). \quad (28)$$

Формфактор $B_{j_1 j_3 0}(R)$, определяемый формулой (27) при $J_P = J_N = L = 0$, имеет фазовый множитель $(-1)^{l_1 + l_3}$. В то же время генеалогический двухпротонный коэффициент G_{j_1} , рассчитанный в сверхтекучей модели, имеет вид

$$G_{j_1} = \frac{j_1}{2} u_j^f v_{j_1}^i (-1)^{l_1}, \quad (29)$$

где u_j , v_j — положительно определенные коэффициенты u — v -превращения Боголюбова [6] для родительского (индекс i — сверху) или дочернего (индекс f — сверху) ядра. Поскольку формфакторы $B_{j_1 j_3 0}$ и произведение генеалогических коэффициентов G_{j_1} и G_{j_3} полностью сфазированы, то сумма по j_1 , j_3 в (28) является когерентной. Это приводит к заметному увеличению амплитуды формфактора $\Psi_c^{06}(R)$ (28) по сравнению с амплитудой аналогичного формфактора $\Psi_{c_0}^{06}(R)$, рассчитываемого на основе простой оболочечной модели, когда в сумме (28) присутствует только один член.

Аналогичная ситуация возникает и для ядер типа «маг ± 2 » нуклона, где генеалогические коэффициенты G_{j_1} и G_{j_3} [43, 44] также имеют фазовые множители $(-1)^{l_1}$ и $(-1)^{l_3}$.

Физической причиной спаривающего усиления амплитуд формфакторов α -частиц для облегченных $0^+ - 0^+$ -переходов в сферических и деформированных ядрах является то, что пары тождественных нуклонов как в α -частицах, так и в куперовских парах ядер находятся в синглетном $1s'$ -состоянии относительного движения.

Для количественной характеристики эффектов спаривающего усиления удобно ввести α -частичный оболочечный спектроскопический фактор W_0^{06} , определяемый формулой (20) через оболочечный формфактор $\Psi_c^{06}(R)$. Тогда для облегченного $0^+ - 0^+$ α -перехода спектроскопический фактор W_c^{06} , рассчитанный с учетом парных корреляций, можно выразить [19] через фактор W_0^{06} , полученный на основе простой оболочечной модели:

$$W_0^{06} = k_P k_N W_{00}^{06}, \quad (30)$$

где k_P (k_N) — коэффициент усиления, связанный с протонной (нейтронной) подсистемой.

Расчеты, проведенные в [17—19, 43, 44], показали, что для сферических ядер с $84 \leq N \leq 130$ значения k_P и k_N меняются в интервале $10 \leq k_p \leq 30$ и $4 \leq k_N \leq 50$ соответственно.

Для α -переходов в нечетных и нечетно-нечетных ядрах с правилами отбора $J_i = J_f$; $J_{P_i} = J_{P_f}$; $J_{N_i} = J_{N_f}$; $J_P = J_N = L = 0$, когда α -частица формируется из спаренных пар протонов и нейтронов, спектроскопический фактор α -частицы W_0^{06} аналогично может быть

представлен в виде (30), однако в этом случае коэффициенты k_P и k_N оказываются несколько меньшими из-за влияния эффекта «блокировки» [6, 19]. Подобные переходы также являются облегченными.

В случае α -переходов, при которых только протонная (нейтронная) пара формируется в состоянии $J_P = 0$ ($J_N = 0$), усиление за счет парных корреляций возникает только в протонной (нейтронной) подсистеме и его масштаб определяется фактором k_P (k_N). Факторы запрета HF_0 (33)–(37) для подобных α -переходов должны иметь масштаб величины k_P (k_N). Указанные переходы естественно называть полуоблегченными.

Наконец, для α -переходов, в которых и нейтронная и протонная пары являются распаренными и имеют характеристики $J_P \neq 0$; $J_N \neq 0$, спектроскопический фактор $W_0^{\text{об}}$ не испытывает спаривающего усиления. Для таких α -переходов, называемых необлегченными, можно ожидать оценки факторов запрета $HF_0 \approx k_P k_N$.

Таким образом, учет влияния парных корреляций в рамках оболочечной модели позволяет естественным образом не только обосновать классификацию α -переходов по степени облегченности, но и, как будет показано ниже, объяснить иерархию значений абсолютных ширин α -распада.

3. КЛАССИФИКАЦИЯ АЛЬФА-ПЕРЕХОДОВ В НЕ R -МАТРИЧНОЙ СХЕМЕ

1. Кластерные спектроскопические факторы и факторы запрета. Для анализа экспериментальных данных по α -распаду используем экспериментальные кластерные спектроскопические факторы $W_c^{\text{кл}}$ [19, 20]. Величина $W_c^{\text{кл}}$ может быть выражена через приведенную ширину $\gamma_c^2(R)$ с помощью формул (15), (20) как

$$W_c^{\text{кл}} = \int_{R_{\text{кл}}}^{R_1} R \gamma_c^2(R) dR. \quad (31)$$

В силу интегрального определения (31) величина $W_c^{\text{кл}}$ оказывается значительно менее чувствительной к вариации параметра $R_{\text{кл}}$, чем величина $\gamma_c^2(R_c)$ к вариации радиуса канала R_c . Особое преимущество по сравнению с $\gamma_c^2(R_c)$ дает использование $W_c^{\text{кл}}$ в случае сильной связи между различными каналами α -распада (см. разд. 2, п. 3), когда α -частичный формфактор $\Psi_c^{\text{кл}}(R)$ и вместе с ним амплитуда приведенной ширины $\gamma_c(R)$ имеют нерегулярный характер [39, 40]. В то же время сопоставление значения $W_c^{\text{кл}}$ с единицей, являющейся предельным значением спектроскопического фактора в одночастичной модели, позволяет судить о наличии или отсутствии в ядрах квазимолекулярных α -частичных уровней. Используя значения $W_c^{\text{кл}}$ для исследуемого α -перехода и соответствующие значения $W_0^{\text{кл}}$ для облегченных α -переходов, по аналогии с (10)–(13) можно ввести фак-

торы запрета HF_L :

$$\text{HF}_L(\text{ч. ч.}) = W_0^{\text{кл}}(\text{ч. ч.})/W_c^{\text{кл}}(\text{ч. ч.}); \quad (32)$$

$$\text{HF}_L^N(\text{ч. н.}) = W_0^{\text{кл}}(\text{ч. н.} - 1)/W_c^{\text{кл}}(\text{ч. н.}); \quad (33)$$

$$\text{HF}_L^Z(\text{н. ч.}) = W_0^{\text{кл}}(\text{н. ч.} - 1, \text{ч.})/W_c^{\text{кл}}(\text{н. ч.}); \quad (34)$$

$$\text{HF}_L^N(\text{н. н.}) = W_0^{\text{кл}}(\text{н. н.} - 1)/W_c^{\text{кл}}(\text{н. н.}); \quad (35)$$

$$\text{HF}_L^Z(\text{н. н.}) = W_0^{\text{кл}}(\text{н. н.} - 1, \text{н.})/W_c^{\text{кл}}(\text{н. н.}); \quad (36)$$

$$\text{HF}_L^{Z,N}(\text{н. н.}) = W_0^{\text{кл}}(\text{н. н.} - 1, \text{н. н.} - 1)/W_c^{\text{кл}}(\text{н. н.}). \quad (37)$$

Определения (32)–(37) в отличие от традиционно принятых (10)–(13), с одной стороны, требуют привлечения минимального числа экспериментальных данных, а с другой — являются более адекватными представлениям оболочечной модели с учетом эффектов спаривания.

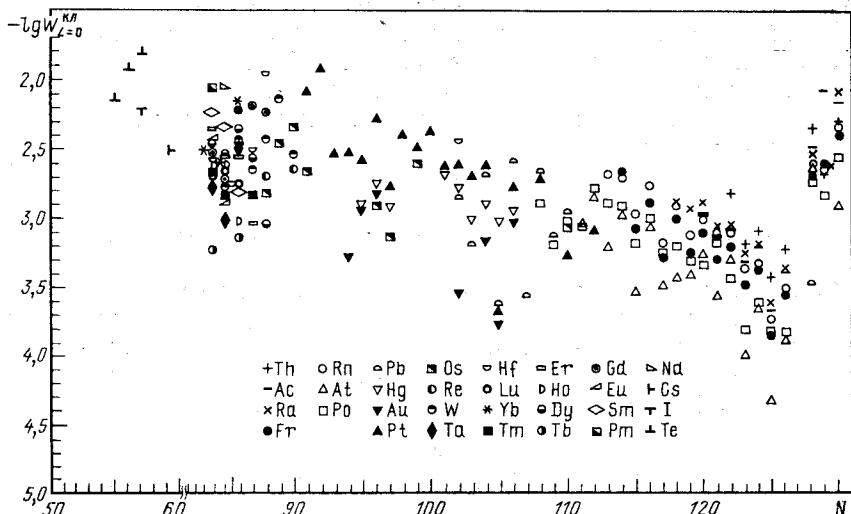
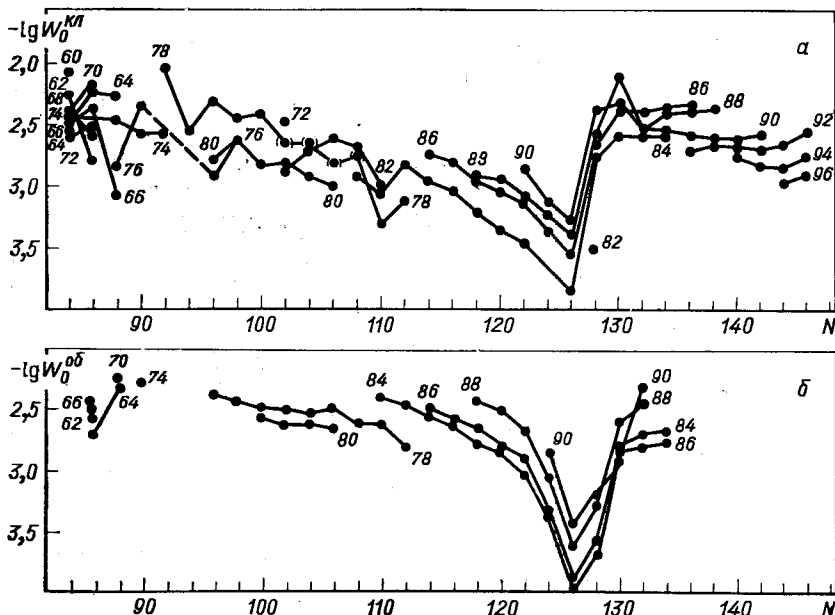


Рис. 3. Зависимость от числа нейтронов кластерного спектроскопического фактора для облегченных α -переходов

В настоящей работе были рассчитаны значения $W_c^{\text{кл}}$ и соответствующие факторы запрета для известных α -переходов большой группы нуклидов с $52 \leq Z \leq 90$ и $54 \leq N \leq 130$, включающей в основном сферические ядра. Кроме того, для ряда анализируемых α -переходов были вычислены оболочечные спектроскопические факторы $W_c^{\text{об}}$ по формулам (26) и (27) с учетом эффектов спаривания и смешивания конфигураций. Ниже проводятся детальный анализ поведения величин $W_c^{\text{кл}}$ и $W_c^{\text{об}}$ для различных типов α -переходов и сопоставление их между собой.

На рис. 3 представлены значения $W_0^{\text{кл}}$ для α -переходов, отобранных по следующему принципу. Если нуклид имеет несколько α -

переходов, то приведено только наибольшее значение $W_0^{\text{кл}}$ для одного из этих переходов. Если же у нуклида наблюдается только один α -переход, то приведено значение $W_0^{\text{кл}}$ для этого перехода. На рис. 3 не представлены изотоны с $N = 127$, у которых отсутствуют облегченные α -переходы. Из рис. 3 видно, что у всех рассмотренных α -переходов значения $W_0^{\text{кл}}$ оказываются меньшими 10^{-2} . Этот факт свидетельствует об отсутствии в тяжелых ядрах квазимолекулярных α -кластерных уровней и находится в согласии с необнаружением гигантских резонансов в α -частичной силовой функции, полученной из (n, α) -реакций на резонансных нейтронах [19, 34].



с существенным изменением как формы [48—51], так и параметров самосогласованного потенциала в этих изотопах по сравнению с аналогичными β -стабильными изотопами. На это же указывает поведение значений $\Delta Q_\alpha(N) = Q_\alpha(Z=84, N) - Q_\alpha(Z=82, N)$, показанное на вставке рис. 5. Действительно, величина ΔQ_α уменьшается от $\Delta Q_\alpha = (4,9 \div 3,3)$ МэВ для $N = 122 \div 126$ до $\Delta Q_\alpha = (1,9 \div 1,6)$ МэВ для $N = 108 \div 112$. Последние значения ΔQ_α соизмеримы со значениями ΔQ_α , характерными для немагических ядер. Например, при переходе от $Z = 76$ к $Z = 78$ для изотопов с N , равными 108,

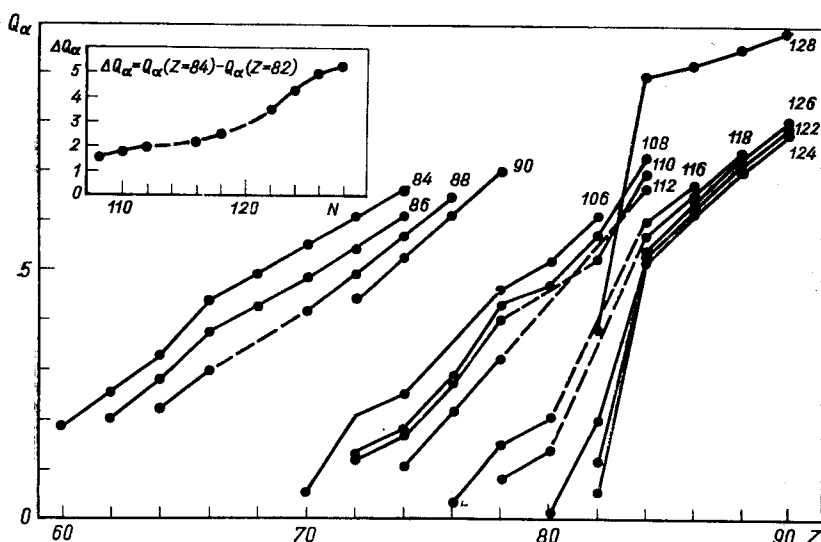


Рис. 5. Зависимость энергии α -распада от числа протонов для изотонов четно-четных ядер

110 , 112 , 116 , значения ΔQ_α лежат в интервале 1,0—1,2 МэВ. Отмеченное выше поведение $Q_\alpha(Z)$ указывает на то, что число протонов $Z = 82$ при значительном дефиците нейтронов перестает быть магическим.

Возвращаясь к анализу кластерных спектроскопических факторов, отметим, что в области $N \geq 132$ значения $W_0^{\text{кл}}(N)$ для каждого элемента приблизительно постоянны, тогда как в области $126 \leq N \leq 130$ при убывании N происходит уменьшение значений $W_0^{\text{кл}}$, завершающееся скачком в значениях $W_0^{\text{кл}}$ до одного порядка при переходе от $N = 128$ к магическому числу $N = 126$. Именно этим скачком можно объяснить появление двух ветвей в эмпирической зависимости $\lg T_{1/2}^\alpha(Q_\alpha)$ для каждого элемента (см. рис. 2, а). Подобное уменьшение $W_0^{\text{кл}}$ намечается и при переходе от $N = 86$ к $N = 84$ (рис. 4, а).

По аналогии с ситуацией в окрестности $N = 126$ можно ожидать резкого изменения в значениях $W_0^{\text{кл}}$ при переходе от $N = 84$ к магическому числу $N = 82$. К сожалению, экспериментальное наблюдение этого скачка затруднено из-за сильного уменьшения значений Q_α для изотонов с $N = 82$.

На рис. 6 представлена зависимость $W_0^{\text{кл}}(Z)$ для облегченных α -переходов в четно-четных ядрах. В области $Z \geq 90$ значения $W_0^{\text{кл}}(Z)$ систематически падают при увеличении Z . Эта тенденция переходит

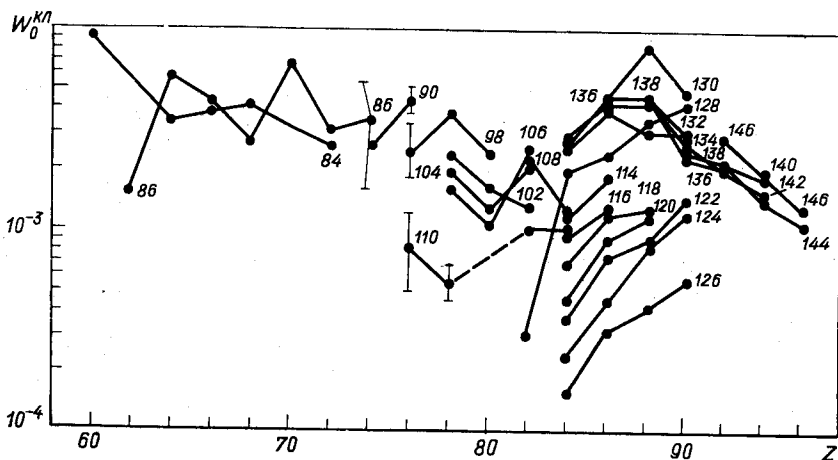


Рис. 6. Зависимость кластерного спектроскопического фактора от числа протонов для изотонов четно-четных ядер

в противоположную для ядер с $114 \leq N \leq 128$: значение $W_0^{\text{кл}}$ убывает с уменьшением Z в области $84 \leq Z \leq 90$. При переходе от $Z = 84$ к магическому числу $Z = 82$ наблюдается резкий скачок в значениях $W_0^{\text{кл}}(Z)$, которые уменьшаются в 7 раз при $N = 128$. Видна полная аналогия со скачком в зависимости $W_0^{\text{кл}}(N)$ при переходе от $N = 128$ к $N = 126$ (рис. 4, a). Однако для $N = 108$ переход от $Z = 84$ к $Z = 82$ сопровождается увеличением $W_0^{\text{кл}}$ в 1,8 раза, что также может быть связано с исчезновением магической щели при $Z = 82$ и $N \leq 112$.

Для ядер с $52 \leq Z \leq 80$ и $56 \leq N \leq 110$ (см. рис. 6 и табл. 4) наблюдается рост значений $W_0^{\text{кл}}(Z)$ при уменьшении Z , аналогичный росту $W_0^{\text{кл}}(N)$ при убывании числа нейтронов от $N = 126$ до $N = 86$.

В обсуждаемые области Z и N попадает недавно изученное [52] дважды магическое ядро ^{146}Gd . Отсутствие четкого минимума в зависимости $W_0^{\text{кл}}(Z)$ при $Z = 64$ (слабый минимум для $N = 84$ и максимум для $N = 86$) указывает на то, что магичность протонной системы исчезает при малом (от $N = 82$ до $N = 86$) изменении числа нейтронов.

Отметим, что рассмотренные выше закономерности поведения кластерного спектроскопического фактора $W_0^{\text{кл}}$ хорошо коррелируют

с поведением приведенных ширин α -распада $\gamma_0^2(R_c)$ при соответствующем выборе радиуса канала R_c [7, 8, 53]. На рис. 2, б в том же масштабе, что и зависимость $\lg T_{1/2}^\alpha(Q_\alpha)$, приведены значения $\lg W_0^{\text{кл}}(Q_\alpha)$ для соответствующих (см. рис. 2, а) облегченных α -переходов в четно-четных изотопах. Сопоставление рис. 2, а и 2, б показывает, что в масштабе, где зависимость $\lg T_{1/2}^\alpha(Q_\alpha)$ представляется прямой линией, изменения значений $\lg W_0^{\text{кл}}(Q_\alpha)$ практически незаметны, в то время как на самом деле они меняются до 30 раз (см. рис. 4, а). Это необходимо иметь в виду при интерпретации α -распадных данных на основе закона Гейгера — Неттола.

Возникает вопрос, в какой степени многочастичная теория α -распада способна объяснить установленные выше закономерности поведения кластерных спектроскопических факторов $W_0^{\text{кл}}$. Для последовательного решения этой задачи необходимо теоретически получить α -частичный формфактор $\psi_c(R)$ во всей области изменения переменной R , т. е. иметь метод корректного перехода из оболочечной области в кластерную. К сожалению, в настоящее время не удается рассчитать формфактор $\psi_c(R)$ в промежуточной области, где представления оболочечной модели с дискретным базисом несправедливы, и требуется учет состояний непрерывного спектра. В связи с этим с целью поиска полуфеноменологических рецептов интерполяции между оболочечной и кластерной областями полезно сопоставить кластерные спектроскопические факторы $W_0^{\text{кл}}$ и соответствующие факторы $W_0^{\text{об}}$, рассчитанные на основе оболочечной модели с учетом парных корреляций.

На рис. 4, б представлены значения $W_0^{\text{об}}(N)$, рассчитанные по формулам (20), (26)–(29) с помощью техники, развитой в работах [17–19, 44], для облегченных α -переходов в четно-четных ядрах. Сравнение этого рисунка с рис. 4, а показывает, что значения $W_0^{\text{об}}(N, Z)$ в целом удовлетворительно воспроизводят абсолютные значения и характер зависимости $W_0^{\text{кл}}$ от N и Z . Факт близости значений $W_0^{\text{об}}$ и $W_0^{\text{кл}}$ представляется особенно значимым, если учесть, что они были получены независимым образом без использования подгоночных параметров. Основываясь на этом результате, можно предложить следующий полуфеноменологический метод интерполяции между оболочечной и кластерной областями, имеющий в отношении α -частичного формфактора интегральный характер:

$$W_c^{\text{кл}} \approx W_c^{\text{об}}. \quad (38)$$

Соотношение (38) позволяет теоретически вычислить абсолютные вероятности α -переходов. Для этого воспользуемся строгой формулой для α -ширины [19, 20]:

$$\Gamma_c = \Gamma_c^{\text{одн}} \frac{W_c^{\text{кл}}}{W_c^{\text{одн}}}, \quad (39)$$

Таблица 1. Сравнение экспериментальных и теоретических спектроскопических факторов и ширин α -распада для облегченных α -переходов в четно-четных ядрах

Элемент	$^{148}_{62}\text{Sm}$	$^{150}_{64}\text{Gd}$	$^{152}_{64}\text{Gd}$	$^{152}_{86}\text{Dy}$	$^{154}_{68}\text{Er}$	$^{174}_{72}\text{Hf}$	$^{174}_{90}\text{W}$	$^{186}_{76}\text{Os}$	$^{180}_{80}\text{Hg}$	$^{182}_{80}\text{Hg}$	$^{184}_{80}\text{Hg}$
$-\lg W_0^{\text{кл}}$	2,78	2,23	2,25	2,4	2,57	2,46	2,56	~3,05	~2,81	2,8	2,9
$-\lg W_0^{\text{об}}$	2,54	2,54	2,31	2,52	2,52	2,96	2,28	3,68	2,51	2,52	2,54
$\Gamma_{\alpha}/\Gamma_{\text{теор}}$	0,58	2,04	1,45	1,32	0,89	3,16	0,52	~4,27	~0,5	0,52	0,44
Элемент	$^{186}_{80}\text{Hg}$	$^{194}_{84}\text{Po}$	$^{196}_{84}\text{Po}$	$^{198}_{84}\text{Po}$	$^{200}_{84}\text{Po}$	$^{202}_{84}\text{Po}$	$^{204}_{84}\text{Po}$	$^{206}_{84}\text{Po}$	$^{208}_{84}\text{Po}$	$^{210}_{84}\text{Po}$	$^{212}_{84}\text{Po}$
$-\lg W_0^{\text{кл}}$	2,97	3,03	2,8	2,93	3,03	3,21	3,33	3,44	3,62	3,83	2,72
$-\lg W_0^{\text{об}}$	2,6	2,39	2,43	2,55	2,59	2,76	2,8	3,03	3,34	4	3,68
$\Gamma_{\alpha}/\Gamma_{\text{теор}}$	0,43	0,23	0,43	0,42	0,36	0,35	0,3	0,39	0,52	1,48	9,12
Элемент	$^{214}_{84}\text{Po}$	$^{210}_{86}\text{Rn}$	$^{214}_{86}\text{Rn}$	$^{202}_{86}\text{Rn}$	$^{204}_{86}\text{Rn}$	$^{206}_{86}\text{Rn}$	$^{208}_{86}\text{Rn}$	$^{210}_{86}\text{Rn}$	$^{212}_{86}\text{Rn}$	$^{214}_{86}\text{Rn}$	$^{216}_{86}\text{Rn}$
$-\lg W_0^{\text{кл}}$	2,56	2,72	2,78	2,92	3,02	3,11	3,35	3,53	2,63	2,34	2,91
$-\lg W_0^{\text{об}}$	2,8	2,51	2,59	2,66	2,8	2,9	3,32	3,89	3,58	2,84	2,43
$\Gamma_{\alpha}/\Gamma_{\text{теор}}$	1,74	0,62	0,65	0,55	0,6	0,6	0,93	2,29	8,9	3,16	0,33
Элемент	$^{208}_{88}\text{Ra}$	$^{210}_{88}\text{Ra}$	$^{212}_{88}\text{Ra}$	$^{214}_{88}\text{Ra}$	$^{216}_{88}\text{Ra}$	$^{218}_{88}\text{Ra}$	$^{214}_{88}\text{Ra}$	$^{216}_{90}\text{Th}$	$^{218}_{90}\text{Th}$	$^{216}_{90}\text{Th}$	$^{220}_{90}\text{Th}$
$-\lg W_0^{\text{кл}}$	2,91	3,06	3,21	3,38	2,55	2,08	3,11	3,25	2,36	2,3	
$-\lg W_0^{\text{об}}$	2,52	2,67	3,05	3,6	3,28	2,59	2,85	3,42	3,2	2,91	
$\Gamma_{\alpha}/\Gamma_{\text{теор}}$	0,41	0,41	0,69	1,66	5,37	3,24	0,55	4,48	6,92	4,07	

где $\Gamma_c^{\text{одн}}$ и $W_c^{\text{одн}}$ — ширина и кластерный спектроскопический фактор одночастичного α -распадного состояния, легко рассчитываемые путем интеграции одночастичного уравнения Шредингера (22) во всей области $0 \leq R \leq R_1$ для волновой функции $\psi_c^{\text{одн}}(R)$ с граничными условиями (23) и

$$\psi_c^{\text{одн}}(R) \xrightarrow[R \rightarrow 0]{} \text{const} R^{(L+1)}.$$

Подставив (38) в (39), получим для теоретической ширины α -распада

$$\Gamma_c^{\text{теор}} = \Gamma_c^{\text{одн}} \frac{W_0^{\text{об}}}{W_0^{\text{одн}}} . \quad (40)$$

Заметим, что из сравнения формул (39) и (40) следует

$$\Gamma_c^{\alpha} / \Gamma_c^{\text{теор}} = W_c^{\text{кл}} / W_c^{\text{об}}.$$

В табл. 1 приведены отношения $\Gamma_c^{\alpha} / \Gamma_c^{\text{теор}}$ для большой группы облегченных α -переходов в четно-четных ядрах. Видно, что теоретическая формула (40) воспроизводит абсолютные значения экспериментальных ширин α -распада (а следовательно, и их зависимость от N и Z) с точностью в основном на уровне фактора 3. Большие отклонения наблюдаются для ядер с N , равными 128; 130, где существующие теоретические схемы не могут, по-видимому, количественно воспроизвести скачок в значениях $W_0^{\text{кл}}$ при переходе через магическое число нейтронов $N = 126$. В то же время отклонения $\Gamma_c^{\text{теор}}$ от Γ_c^{α} , достигающие 4 раз для ядер ^{186}Os и ^{194}Po , могут быть связаны либо с появлением заметных равновесных деформаций (^{186}Os), либо с перестройкой самосогласованного поля (^{194}Po), приводящей к исчезновению магичности числа протонов $Z = 82$ в области $N \leq 110$ (см. обсуждение выше). Успешное применение соотношения (38) для объяснения абсолютных и относительных вероятностей облегченных α -переходов в четно-четных ядрах, являющихся реперными при классификации ширин α -распадов, создает обнадеживающие предпосылки для использования условия (38) при анализе всех других α -переходов.

3. Облегченные α -переходы в нечетных и нечетно-нечетных ядрах. На рис. 7, а и 8, а представлены нейтронные и протонные факторы запрета HF_0 (33)–(37) для α -переходов в нечетных и нечетно-нечетных ядрах, для которых имеются необходимые экспериментальные данные. При этом из всех известных α -переходов в каждом изотопе отбирался только один α -переход с максимальным значением $W_0^{\text{кл}}$. Лишь для ряда изотопов астата, франция и актиния, у которых наблюдается по два облегченных α -перехода [54, 55], на рис. 7, а и 8, а приведены факторы запрета с учетом суммарных значений $W_0^{\text{кл}}$ для этих переходов. В случаях, когда экспериментально установлены спины и четности материнского и дочернего ядер, для анализируемых α -переходов $J_i^{\pi_i} = J_f^{\pi_f}$, что соответствует условию облегченности α -перехода в нечетных и нечетно-нечетных ядрах.

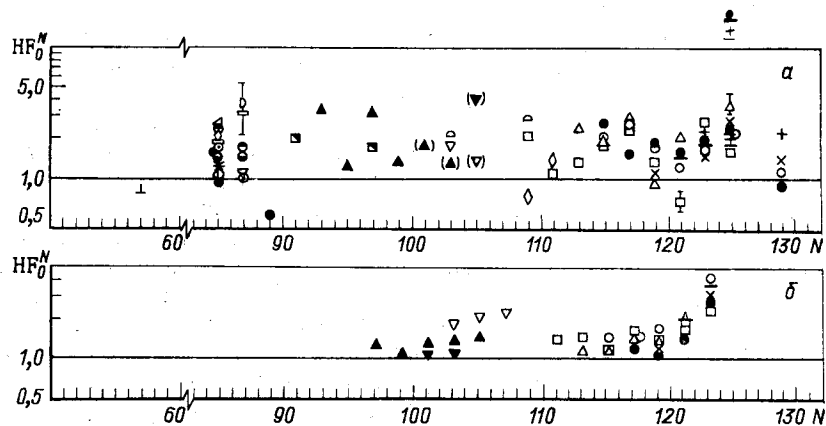


Рис. 7. Нейтронные факторы запрета в зависимости от числа нейтронов:
a – эксперимент; *б* – теория, обозначения см. на рис. 3

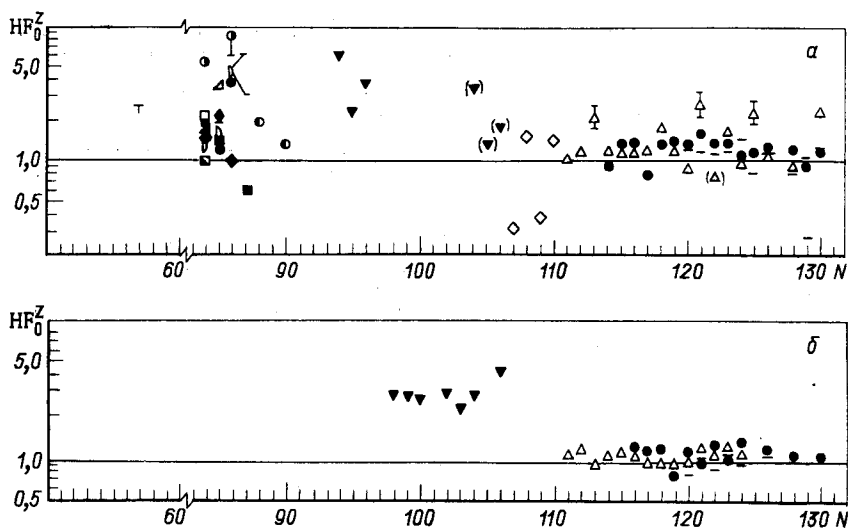


Рис. 8. Протонные факторы запрета в зависимости от числа нейтронов:
a – эксперимент; *б* – теория, обозначения см. на рис. 3

Как видно из рис. 7, *a* (рис. 8, *a*), значения нейтронных (протонных) факторов запрета HF_0^N (HF_0^Z) оказываются близкими для изотопов с различными Z и не превосходят для всех исследованных случаев 4. Отметим, что при переходе через магические числа $N = 126$ и $Z = 82$ никаких скачкообразных изменений в значениях HF_0^N и HF_0^Z не происходит. Интересно отметить, что для большой группы

нечетных и нечетно-нечетных ядер в диапазоне нейтронных чисел $111 \leq N \leq 130$ значения HF_0^Z группируются в узкую полосу от 0,9 до 1,3. Поэтому обращают на себя внимание заметно большие значения факторов запрета HF_0^Z для изотопов $^{198,210,215}\text{At}$. Для ^{198}At можно ожидать существования по аналогии с $^{200,202,210}\text{At}$, $^{202,212}\text{Fr}$ второго облегченного α -перехода, не обнаруженного экспериментально. Его учет может заметно уменьшить значение HF_0^Z и привести его в согласие со значениями протонного фактора запрета для других ядер в данной области. В случае изотопов $^{210,215}\text{At}$ требуется, по-видимому, уточнение экспериментальных периодов и долей α -распада.

По смыслу определения факторов запрета HF_0^N и HF_0^Z они не должны быть существенно меньшими единицы. Поэтому появление заметно меньших факторов запрета является четким указанием на неизвестность соответствующих экспериментальных данных.

Заметим, что фактор запрета $\text{HF}_L^{Z,N}$ (н. н.), определенный формулой (37), может быть выражен через произведение нейтронного и протонного факторов запрета:

$$\text{HF}_L^{Z,N} (\text{n. н.}) = \text{HF}_L^Z (\text{n. н.}) \text{HF}_L^N (\text{n} - 1. \text{n}). \quad (41)$$

Поскольку факторы HF_0^Z (н. н.) и HF_0^N (н - 1. н) уже получены (см. рис. 7, а и 8, а), то рассмотрение факторов $\text{HF}_0^{Z,N}$ (н. н.) может быть проведено на основе представленных выше данных.

На рис. 7, б и 8, б представлены теоретические значения нейтронных и протонных факторов запрета, полученные при использовании в формулах (33)–(36) вместо величин $W_0^{\text{кл}}$ оболочечных спектроскопических факторов $W_0^{\text{об}}$, рассчитанных на основе техники работ [17, 19, 44]. Видно, что значения экспериментальных HF_0^N и теоретических (HF_0^N)_{теор} факторов удовлетворительно согласуются для всех проанализированных ядер. Следует отметить, что значения (HF_0^N)_{теор} передают тенденцию нарастания HF_0^N при увеличении числа нейтронов от $N = 115$ до $N = 125$, связанную с переходом состояния нечетного нейтрона из подоболочки $3p_{3/2}$ к подоболочкам $2f_{5/2}$ и $3p_{1/2}$. В то же время теоретические значения протонных факторов запрета (HF_0^Z)_{теор} четко группируются в очень узкую полосу от 0,9 до 1,4 для всех нуклидов с $111 \leq N \leq 130$, что хорошо согласуется с поведением экспериментальных значений HF_0^Z . Такое поведение протонных факторов запрета объясняется тем, что для всех рассмотренных изотопов нечетный протон находится в подоболочке $1h_{9/2}$, для которой «эффект блокировки» [41] оказывается малым из-за большого значения спина $j = 9/2$ блокируемой орбитали. Отметим, что в области ядер с $N < 110$ значения (HF_0^Z)_{теор} находятся в разумном согласии с экспериментальными HF_0^Z .

4. Полублагченные α -переходы. При α -распаде основных состояний нечетных ядер в ряде изотопов экспериментально наблюдается несколько α -переходов, соответствующих энергиям возбуждения E_f^* дочерних ядер, меньшим 1 МэВ. Среди этих α -переходов,

как правило, наблюдается облегченный переход. В редких случаях наблюдаются α -переходы с $L = 2$, имеющие значения $W_0^{\text{кл}}$, близкие к облегченным. Такие переходы связаны с возбуждением в остеце низколежащего коллективного фонана 2^+ [39]. Все остальные переходы соответствуют случаям $J_i^{\pi_i} \neq J_f^{\pi_f}$ с $L \neq 0$ и имеют значения $W_0^{\text{кл}}$, меньшие, чем $W_0^{\text{кл}}$ для облегченных α -переходов. Подобные переходы являются полуоблегченными (см. разд. 2, п. 5), поскольку расспаривание пары нуклонов, уносимых из четной подсистемы, приводит к переходу в возбужденные состояния дочернего ядра с энергиями $E_f^* \geq 2$ МэВ. Типичным примером полуоблегченных α -распадов с отсутствием усиления в нейтронной подсистеме являются α -переходы в нечетных изотопах полония, радона, радия и тория с $N = 127$. Действительно, в этом случае состояния нечетного нейтрона в родительском ($2g_{9/2}$) и дочернем ($3p_{1/2}; 2f_{5/2}; 3p_{3/2} \dots$) ядрах относятся к разным оболочкам, что приводит к следующим возможным конфигурациям расспаренной нейтронной пары, участвующей в формировании α -частицы:

$$[2g_{9/2}, 3p_{1/2}]_L; [2g_{9/2}, 2f_{5/2}]_L; [2g_{9/2}, 3p_{3/2}]_L \dots$$

Как видно из табл. 2, нейтронные факторы запрета HF_0^N для указанных конфигураций лежат в диапазоне $5 \leq HF_0 \leq 100$.

В табл. 2 представлены также экспериментальные данные по α -распаду нечетных изотопов тория, радия, радона и полония с $N = 125$, $N = 123$, $N = 121$, для которых полуоблегченные α -переходы связаны со следующими конфигурациями уносимой нейтронной пары:

$$[3p_{1/2}, 2f_{5/2}]_L; [3p_{1/2}, 3p_{3/2}]_L; [2f_{5/2}, 3p_{1/2}]_L; [2f_{5/2}, 3p_{3/2}]_L.$$

Факторы запрета HF_0 для указанных α -переходов лежат в интервале $6 \leq HF_0 \leq 300$.

Заметим, что полуоблегченные α -переходы без усиления в нейтронной подсистеме экспериментально наблюдаются при α -распаде нечетно-нечетных изотопов актиния, франция и астата, факторы запрета HF_0^N для которых лежат примерно в том же диапазоне (6—300) [55]. Однако детальный анализ данных α -переходов осложняется из-за отсутствия информации о спинах и структуре начальных и конечных состояний.

Типичным примером полуоблегченных α -переходов с замедлением в протонной подсистеме являются α -переходы в ядрах ^{211}Bi и $^{149}, ^{151}\text{Tb}$. В случае α -распада ^{211}Bi состояние нечетного протона в родительском ($1h_{9/2}$) и дочернем ($3s_{1/2}$ или $2d_{3/2}$) ядрах относятся к разным протонным оболочкам. Аналогично нечетный протон в изотопах ^{149}Tb и ^{151}Tb находится в состояниях ($2d_{3/2}$) и ($3s_{1/2}$) соответственно, а в дочерних изотопах $^{145}, ^{147}\text{Eu}$ — в состояниях ($2d_{5/2}$) и ($1g_{7/2}$) для основного и первого возбужденного уровней соответственно. Как видно из табл. 2, факторы запрета HF_0^Z для рассматри-

Таблица 2. Полуоблегченные α -переходы

N	Z	E_α , кэВ	$T_{1/2}$	α , %	I_α на 100 α-распадов	$J_i^{\pi i}$	$J_f^{\pi f}$	L	$-\lg W_L^{KL}$	H.F.L
127	90	9250(10)	0,252(7) мс	400	100	(9/2 ⁺)	(1/2 ⁻)	0	4,80(4)	35(3)
127	88	8697(5)	1,56(10) · 10 ⁻³ с	100	95,7(40)	(9/2 ⁺)	1/2 ⁻	5	3,76(1)	3,2(2)
88	8167(8)	1,56(10) · 10 ⁻³ с	100	1,3(5)	(9/2 ⁺)	(5/2 ⁻)	0	4,913(30)	35(3)	
88	7879(8)	1,56(10) · 10 ⁻³ с	100	3,0(5)	(9/2 ⁺)	(3/2 ⁻)	3	3,873(30)	3,2(3)	
127	86	8085(10)	25(0,2) мс	100	99	(9/2 ⁺)	1/2 ⁻	3	5,35(17)	95(37)
86	7550(15)	25(0,2) мс	100	1	(9/2 ⁺)	5/2 ⁻	0	4,88(17)	32(13)	
127	84	7450,6(19)	0,516(3) с	100	98,917	(9/2 ⁺)	1/2 ⁻	0	4,14(8)	5,9(11)
84	6892,5(25)	0,516(3) с	100	0,546(19)	(9/2 ⁺)	5/2 ⁻	5	3,67(8)	2,0(4)	
84	6570,0(25)	0,516(3) с	100	0,537(19)	(9/2 ⁺)	3/2 ⁻	3	5,123(35)	40(4)	
125	90	7524(8)	1,2(2) с	400	40(3)	(1/2 ⁻)	(5/2 ⁻)	5	4,043(35)	3,3(3)
90	7333(10)	1,2(2) с	100	8(3)	(1/2 ⁻)	(3/2 ⁻)	0	5,519(35)	98(9)	
125	88	6731(5)	2,75(45) мин	80(5)	45(2)	(1/2 ⁻)	(5/2 ⁻)	3	5,069(35)	35(3)
88	6521(5)	2,75 (45) мин	80(5)	6(1)	(1/2 ⁻)	(3/2 ⁻)	0	5,285(25)	29(2)	
125	86	5850(2)	15,0(5) ч	26(1)	34(1)	1/2 ⁻	5/2 ⁻	0	4,185(25)	2,3(1)
88	5616(3)	15,0(5) ч	26(1)	2,7(2)	1/2 ⁻	3/2 ⁻	2	5,685(25)	72(4)	
125	84	4617(5)	102(5) года	99,74(3)	0,48(2)	1/2 ⁻	3/2 ⁻	0	5,231(25)	25,2(15)
									0	4,433(25)
									4,6(3)	4,6(3)
									3	4,043(25)
									1,6(1)	1,6(1)
									3,966(80)	7,7(24)
									3,768(80)	4,5(13)
									4,04(48)	8,6(40)
									3,82(18)	5(2)
									4,190(41)	9,6(9)
									3,962(41)	5(6)
									4,131(81)	8,4(16)
									3,903(81)	5,0(9)
									4,333(26)	9,6(7)
									4,099(26)	5,6(4)
									4,280(39)	8,5(8)
									4,054(39)	5,0(5)
									4,428(27)	6,4(4)
									4,194(27)	3,7(2)

123	86	5898(3)	28,5(10) мин	17(2)	0,14(2)	5/2-	(1/2-)	0	5,573(82) 5,346(82) 5,325(66) 5,101(66) 5,033(42) 4,809(42) 64(7)	293(57) 174(34) 166(26) 99(16) 103(14)
121	86	6068(3)	9,27(5) мин	23(2)	0,66(2)	5/2-	(3/2-)	2	5,573(82) 5,346(82) 5,325(66) 5,101(66) 5,033(42) 4,809(42) 64(7)	293(57) 174(34) 166(26) 99(16) 103(14)
128	83	5995(4)	9,27(25) мин	23(2)	0,49(3)	5/2-	(1/2-)	0	5,573(82) 5,346(82) 5,325(66) 5,101(66) 5,033(42) 4,809(42) 64(7)	293(57) 174(34) 166(26) 99(16) 103(14)
128	83	6623,4(6)	2,45 мин	99,726(4)	83,57(4)	(9/2-)	1/2+	0	5,573(82) 5,346(82) 5,325(66) 5,101(66) 5,033(42) 4,809(42) 64(7)	293(57) 174(34) 166(26) 99(16) 103(14)
84	65	6278,8(6)	2,45 мин	99,726(4)	16,43(4)	(9/2-)	3/2+	0	5,573(82) 5,346(82) 5,325(66) 5,101(66) 5,033(42) 4,809(42) 64(7)	293(57) 174(34) 166(26) 99(16) 103(14)
84	65	3967(3)	4,40(5) ч	16,7(4)	99,97	(3/2+)	5/2+	0	5,573(82) 5,346(82) 5,325(66) 5,101(66) 5,033(42) 4,809(42) 64(7)	293(57) 174(34) 166(26) 99(16) 103(14)
86	65	3644(5)	4,40(5) ч	16,7(4)	$3(1) \cdot 10^{-2}$	(3/2+)	7/2+	0	5,573(82) 5,346(82) 5,325(66) 5,101(66) 5,033(42) 4,809(42) 64(7)	293(57) 174(34) 166(26) 99(16) 103(14)
86	65	3409(5)	17,5(7) ч	$9,5(15) \times 10^{-3}$	99,9	1/2+	5/2+	0	5,573(82) 5,346(82) 5,325(66) 5,101(66) 5,033(42) 4,809(42) 64(7)	293(57) 174(34) 166(26) 99(16) 103(14)
86	65	3483(5)	17,5(7) ч	$9,5(15) \times 10^{-3}$	0,4	1/2+	7/2+	4	5,573(82) 5,346(82) 5,325(66) 5,101(66) 5,033(42) 4,809(42) 64(7)	293(57) 174(34) 166(26) 99(16) 103(14)

П р и м е ч а н и е. *— Протонные факторы запрета HF_L; в остальных случаях приведены ионитронные факторы запрета.

ваемых α -переходов лежат в интервале от 5 до 125, который близок к полученному интервалу значений факторов запрета HF_0^Z .

Поскольку для большинства рассмотренных в табл. 2 полуоблегченных α -переходов имеется определенная информация о спинах состояний родительского и дочернего ядер, то, кроме факторов запрета HF_0 , можно также рассчитать приведенные факторы запрета HF_L . Как видно из табл. 2, где представлены полученные значения факторов запрета HF_L , они лежат в диапазоне $2 \leq HF_L \leq 190$, который близок к соответствующему интервалу значений факторов запрета $5 \leq HF_0^{N(Z)} \leq 300$. Заметим, что факторы запрета HF_L оказываются полезными при детальном теоретическом анализе конкретных α -переходов. Для целей же классификации, особенно при отсутствии сведений о спинах и четностях состояний, участвующих в α -переходе, целесообразно использовать факторы запрета HF_0 .

При сопоставлении полученного выше интервала значений факторов запрета $HF_L^{N(Z)}$ с теоретическими оценками, приведенными в разд. 2, п. 5, $HF_L^{N(Z)} \approx k_N (k_P)$ необходимо иметь в виду, что указанные оценки сделаны в приближении постоянства спектроскопических факторов W_{00}^{06} , рассчитываемых в простой оболочечной модели. Однако из-за зависимости геометрических факторов и матричных элементов, определяющих W_{00}^{06} , от конкретных конфигураций пар отделяемых нуклонов такое приближение оказывается грубым, так что сопоставление протонных (нейтронных) коэффициентов усиления с соответствующими факторами запрета $HF_L^{Z(N)}$ может носить только качественный характер. В свете данного обсуждения можно констатировать, что интервал значений факторов запрета $HF_L^{N(Z)}$ удовлетворительно согласуется с приведенными в разд. 2, п. 5 интервалами значений k_P и k_N .

К сожалению, последовательный теоретический анализ оболочечных спектроскопических факторов с учетом эффектов спаривания для полуоблегченных α -переходов пока еще не проведен. В работе [56] из сопоставления облегченных и полуоблегченных α -переходов в изотонах с $N = 125$ получены лишь качественные оценки значений нейтронного коэффициента усиления. В расчетах же, проведенных в работе [57] для ^{210}At и основанных на R -матричной теории, парные корреляции не учитывались даже при анализе относительных интенсивностей облегченных и полуоблегченных α -переходов.

Поэтому остается актуальным проведение детального теоретического рассмотрения факторов запрета для полуоблегченных α -переходов, особенно в тех случаях, когда приведенные факторы запрета невелики — $HF_L \leq 6$.

В заключение продемонстрируем возможности оболочечной модели для описания относительных интенсивностей полуоблегченных α -переходов в тех случаях, которые не требуют громоздких численных расчетов. Основываясь на знании оболочечных спектроскопических

факторов, можно ожидать, что для каждого из полуоблегченных α -переходов $9/2^+ \rightarrow 1/2^-$; $9/2^+ \rightarrow 5/2^-$ и $9/2^+ \rightarrow 3/2^-$ в различных изотопах с $N = 127$ и α -переходов $1/2^- \rightarrow 5/2^-$ и $1/2^- \rightarrow 3/2^-$ в изученных изотопах с $N = 125$ нейтронные факторы запрета HF_0^N должны быть близкими. Это предсказание подтверждается экспериментально, поскольку, как следует из табл. 2, значения HF_0^N для указанных переходов лежат в диапазонах: 29—35; 72—95; 4,6—5,9; 7,7—9,6; 6,4—8,6 соответственно.

Отношение ω нейтронных факторов запрета HF_0^N для полуоблегченных α -переходов $5/2^- \rightarrow 3/2^-$ в изотопах ^{207}Rn и ^{209}Rn в предположении, что состояния нечетных нейтронов в родительском и дочернем ядрах являются чистыми оболочечными состояниями $2f_{5/2}$ и $3p_{3/2}$, с учетом формул (20), (26) и (27) равно обратной величине отношения квадратов нейтронных генеалогических коэффициентов G_N . Для нечетной нейтронной подсистемы величины G_N с хорошей степенью точности определяются как [12]:

$$G_N = \sqrt{\frac{2J_N + 1}{2}} \sqrt{\frac{(\Omega_{j_i} - n_{j_i}) n_{j_f}}{\Omega_{j_i}^2 \Omega_{j_f}^2}}, \quad (42)$$

где n_{j_i} (n_{j_f}) — число нейтронных пар в подоболочке $j_i = J_i$ ($j_f = J_f$) в родительском ядре; $\Omega_j = j/2$ — максимально возможное число пар в подоболочке j . Тогда теоретическое значение $\omega = 0,5$, что хорошо согласуется с отношением $\omega = 0,62$ экспериментальных факторов запрета HF_0^N (^{207}Rn) и HF_0^N (^{209}Rn) из табл. 2.

Теоретическое значение отношения ω нейтронных факторов запрета HF_0^N для полуоблегченных α -переходов $1/2^- \rightarrow 5/2^-$ в ^{211}Rn и $5/2^- \rightarrow 3/2^-$ в ^{209}Rn при использовании формул (20), (26), (27) и (42) оказывается равным 0,062. Соответствующее отношение экспериментальных факторов запрета HF_0^N для указанных α -переходов имеет значение 0,058 (см. табл. 2).

5. Необлегченные α -переходы. При рассмотрении α -распада из основных состояний ядер на низколежащие уровни дочерних ядер ($E_i^* < 1$ МэВ) необлегченные α -переходы могут наблюдаться только в нечетно-нечетных ядрах. В настоящее время такие α -переходы обнаружены только в ядре ^{210}Bi . Для α -распада изомерных состояний необлегченные α -переходы могут наблюдаться и в случае нечетных ($E_i^* > 1$ МэВ) и четно-четных ($E_i^* > 2$ МэВ) ядер, когда в четных подсистемах родительских ядер происходит распаривание куперовских пар нуклонов. Типичными примерами такого рода α -переходов являются переходы из изомерного состояния $^{212}\text{Po}^m$ (16^+) на уровня 0^+ , 3^- , 5^- ядра ^{208}Pb .

В случае нечетно-нечетных ядер можно ожидать, что нейтронный HF_0^N и протонный HF_0^Z факторы запрета, определенные формулами (35), (36), где в числителе стоят $W_0^{\text{кл}}$ (н. н — 1) и $W_0^{\text{кл}}$ (н — 1. н) для полуоблегченных α -переходов в соседних нечетных изотопах,

должны быть близки к соответствующим факторам запрета для полуоблегченных α -переходов в соседних нечетных ядрах. В то же время фактор запрета $HF_0^{Z,N}$ для необлегченных α -переходов, представленный в виде (41), должен быть близок к произведению $HF_0^Z \cdot HF_0^N$, где HF_0^Z и HF_0^N соответствуют полуоблегченным α -переходам, рассмотренным в разд. 3, п. 4. Тогда диапазон изменения $HF_0^{Z,N}$ для необлегченных α -переходов определяется как $(25-10^4)$. Для более корректной оценки нижней границы $HF_0^{Z,N}$ можно использовать α -переходы из основного состояния ^{210}Bi (1^-) на уровня 2^- и 1^- ^{206}Tl . Эти переходы являются необлегченными, поскольку состояния нечетного протона и нечетного нейтрона в ^{210}Bi и ^{206}Tl относятся к разным оболочкам. К сожалению, строго рассчитать фактор $HF_0^{Z,N}$ (н. н.) по формуле (37) невозможно, поскольку отсутствуют экспериментальные данные об α -распаде ядра ^{208}Pb .

В связи с этим можно получить лишь приближенную оценку фактора $HF_0^{Z,N}$, используя экспериментальное значение $W_0^{\text{кл}}$ для ^{210}Pb и восстанавливая значение $W_0^{\text{кл}}$ для ^{208}Pb при условии, что зависимость $W_0^{\text{кл}}(N)$ для изотопов свинца аналогична зависимости $W_0^{\text{кл}}(N)$ для изотопов полония, радона, радия и тория. В этом случае для ^{208}Pb $W_0^{\text{кл}} \approx 6 \cdot 10^{-5}$. Тогда для переходов $1^- \rightarrow 2^-$ и $1^- \rightarrow 1^-$ в ^{210}Bi оценки $HF_0^{Z,N}$ лежат в интервале $(10-20)$ и отличаются от значений факторов $F_0^{Z,N}$, полученных на основе закона Гейгера — Неттоля в компиляции [5] на фактор ≈ 3 . Таким образом, нижняя граница интервала значений факторов $HF_0^{Z,N}$ может быть уменьшена до 10 , которая оказывается близкой к соответствующей нижней границе для факторов запрета $HF_0^{(N)}$ в случае полуоблегченных α -переходов. С другой стороны, и верхние границы интервалов значений факторов запрета $HF_0^{Z,N}$ и $HF_0^{(N)}$ оказываются соизмеримыми как из-за сильного влияния структурных запретов на вероятности полуоблегченных α -переходов, так и из-за экспериментальных ограничений при наблюдении слабых α -линий.

В работах [58, 59] на основе формул (26), (27) были проведены расчеты оболочечных спектроскопических факторов для необлегченных α -переходов $1^- \rightarrow 2^-$ и $1^- \rightarrow 1^-$ в ^{210}Bi . Отношения значений экспериментальных кластерных $W_c^{\text{кл}}$ и оболочечных $W_c^{\text{об}}$ спектроскопических факторов оказались равными $0,9$ и $3,4$ соответственно для изучаемых α -переходов при использовании в расчетах чистых оболочечных состояний. Учет смешивания конфигураций в волновых функциях родительского и дочернего ядер [60, 61] приводит к значениям указанных отношений $0,28$ и 2 . Этот результат свидетельствует о возможности теоретического описания абсолютных вероятностей необлегченного α -распада с точностью до фактора 4 .

Следует отметить, что сопоставление факторов запрета HF_0^N (ч. н.), HF_0^Z (ч. н.) и $HF_0^{Z,N}$ (н. н.) из настоящей работы с соответствующими факторами запрета F_0 (11)–(13) из работы [5] позволяет сделать вывод о качественном согласии указанных величин. Заме-

тим, что наибольшие расхождения факторов запрета HF_0 и F_0 , достигающие 3 раз, возникают в области $N \approx 126$, где обработка данных по α -распаду на основе закона Гейгера — Неттоля некорректна. На этот факт обращалось внимание еще в работе [1].

4. АНАЛИЗ ЭКСПЕРИМЕНТАЛЬНЫХ ДАННЫХ И ПРЕДСКАЗАНИЯ

Опираясь на опыт, накопленный при изучении α -переходов различной степени облегченности, и используя экспериментальные кластерные спектроскопические факторы, можно проанализировать экспериментальные данные по α -распаду для широкой области ядер и сделать достаточно надежные теоретические предсказания. Хорошим примером такого рода анализа служит изучение α -распада нейтронодефицитных изотопов висмута, проведенное в [48].

1. Альфа-распад нейтронодефицитных изотопов висмута. Альфа-распад нейтронодефицитных изотопов висмута наблюдали в диапазоне массовых чисел $A = 203 \div 188$. Соответствующие экспериментальные данные были детально проанализированы в [48] (см. также § 5.7 в [4]) на основе систематики кластерных спектроскопических факторов. В [48] были предложены и обоснованы гипотезы о структуре состояний родительских и дочерних ядер, а также о природе α -переходов, связывающих указанные состояния. Это позволило сделать предсказания долей α как для α -переходов, неизвестных ко времени выполнения работы (1978 г.), так и для α -переходов, экспериментальные характеристики которых казались противоречащими теории.

В табл. 3 представлены экспериментальные данные по α -распаду изотопов висмута из работы [62], выполненной уже после публикации работы [48]. В последней колонке этой таблицы представлены доли α -распада, предсказанные в работе [48], причем для α -перехода $1/2^+ \rightarrow 1/2^+$ в изотопах $^{191,197}\text{Bi}$ значения долей пересчитаны с учетом новых значений E_α , $T_{1/2}$ [62]. Сопоставление долей α из [62] и [48] демонстрирует их близость, что свидетельствует, с одной стороны, о правильности представлений, предложенных в работе [48], о структуре состояний, связанных α -переходами в изотопах висмута и таллия, и, с другой, о предсказательной силе кластерных спектроскопических факторов при анализе α -распада.

2. Систематика характеристик α -переходов. В табл. 4 представлены экспериментальные данные для α -распада изотопов с $52 \leq Z \leq 90$ и $84 \leq N \leq 130$. Как правило, для каждого из изотопов в таблицу включен только один α -переход с максимальным значением $W_0^{\text{кл}}$ и лишь для ряда нечетно-нечетных изотопов актиния, франция и астата приведено по два облегченных α -перехода. При наличии нескольких наборов экспериментальных данных для конкретного α -перехода предпочтение отдано результатам с наименьшими погрешностями. В случаях, когда экспериментальные данные, полученные

Таблица 3. Характеристики α -переходов изотопов висмута с $A \leq 197$

A	E_α , кэВ	$T_{1/2}$, с	α , %	Эксперимент			Hf_L	$-\lg W_L^{KJ}$	$-\lg W_L^{KL}$	Систематика
				Переход $J_i^\pi - J_f^\pi$	L	$-\lg W_L^{KJ}$				
197m	5760(20)	329(20)	> 1	$1/2^+ - 1/2^+$	0	< 3,84	—	> 2,95	> 2,87	< 7,0,1
195g	5420(5)	487(1)	0,04	$9/2^- - 9/2^-$	0	< 3,26	—	5,46	5,32	0,007
195g	5713(5)	187(1)	0,01	$9/2^- - 1/2^+$	0	5,31	—	—	—	—
195m	6106(5)	87(1)	< 52	$9/2^- - 1/2^+$	5	4,17	—	—	—	—
194	5598(5)	125(1)	0,21	$1/2^+ - 1/2^+$	0	3,02	—	—	—	—
193g	5899(5)	69(1)	3,8	$(10^-) - (10^-)$	0	3,24	1,3*	3,25	2,92	< 66,0,2
193g	6174(5)	69(1)	0,2	$9/2^- - 9/2^-$	0	3,12	1,4**	3,02	3,02	5,0,2
193m	6475(5)	~ 3,5	~ 100	$(9/2^-) - (1/2^+)$	0	5,59	—	5,62	5,62	0,2
192	6055(5)	39(1)	26	$9/2^- - 1/2^+$	5	4,45	—	—	4,50	—
191g	6314(5)	11,1(3)	59,2	$1/2^+ - 1/2^+$	0	2,81	—	—	3,40	—
191g	6639(5)	14,1(3)	1,8	$(10^-) - (10^-)$	0	2,70	0,4**	2,86	2,86	18
191m	6876(5)	~ 0,3***	~ 100	$(9/2^-) - (9/2^-)$	0	2,85	1,5**	3,42	3,42	32
190	6453(5)	5,2(2)	59,9	$9/2^- - 1/2^+$	0	5,64	—	5,63	5,63	1,8
				$9/2^- - 1/2^+$	5	4,52	—	4,51	4,51	—
				$1/2^+ - (1/2^+)$	0	3,49	—	3,35	3,35	68
				$(10^-) - (10^-)$	0	3,06	0,3**	2,90	2,90	87

П р и м е ч а н и е. $Hf_0^{N(192Bi)} = 0,7$; * — соответствует Hf_0^{N} ; ** — соответствует Hf_0^{Z} ; *** — в работе [68]; *** — в работе [70] получено значение $T_{1/2} = 0,15(2)$ с. [62]; значения систематики $\lg W_0^{KL}$ приведены по работе [68]; *** — в работе [70] получено значение $T_{1/2} = 0,15(2)$ с.

в различных работах, не перекрывались в пределах соизмеримых погрешностей, они совместно включены в таблицу.

В табл. 4 не представлены изотопы, для которых отсутствуют экспериментальные значения $T_{1/2}$ или долей α -распада, при условии, что они заметно меньше 100%.

В большинстве рассмотренных случаев экспериментальные значения кластерных спектроскопических факторов и факторов запрета хорошо согласуются с общей систематикой $W_0^{\text{кл}}(Z)$, $W_0^{\text{кл}}(N)$ и факторов запрета (см. разд. 3, пп. 1—4), а также коррелируют с поведением оболочечных спектроскопических факторов и теоретических факторов запрета. Это свидетельствует о достаточной надежности имеющихся экспериментальных данных для рассмотренных случаев. Поэтому ниже подобные α -переходы не обсуждаются. В тех же случаях, когда значения $W_0^{\text{кл}}$ или HF_0 имеют заметные отклонения от систематики и находятся в противоречии с соответствующими теоретическими значениями, в табл. 5 даны предсказания для ожидаемых значений $W_0^{\text{кл}}$, а также в ряде случаев для α , которые могут служить основой при уточнении экспериментальных данных. В седьмом столбце табл. 4 указаны факторы $W_0^{\text{кл}}$, использованные для анализа и предсказаний.

Обсудим детальнее для конкретных ядер причины, которые побудили провести ревизию экспериментальных данных и сделать предсказания ожидаемых значений $W_0^{\text{кл}}$, а в ряде случаев долей α . Заметим, что отношение $(W_0^{\text{кл}})_{\text{пред}}/(W_0^{\text{кл}})$ дает коэффициент уменьшения парциального периода полураспада $T_{1/2}^\alpha$.

Изотопы ^{218}Ac , ^{207}At и ^{205}Po имеют аномально большие экспериментальные кластерные спектроскопические факторы, значения которых $-\lg W_0^{\text{кл}}$: 2,09; 3,30 и 3,15 приводят к факторам запрета $\text{HF}_0^Z = 0,3$, $\text{HF}_0^N = 0,4$; $\text{HF}_0^Z = 0,7$ и $\text{HF}_0^N = 0,7$ соответственно, заметно отличающимся от систематики экспериментальных и теоретических значений $\text{HF}_0^{Z(N)}$.

В то же время изотопы ^{215}Ac и ^{187}Pb имеют аномально низкие значения $W_0^{\text{кл}}$ ($\lg W_0^{\text{кл}} = 2,92$ и $-3,63$), которым соответствуют факторы запрета $\text{HF}_0^Z = 2,3$ и $\text{HF}_0^N = 10$, существенно отклоняющиеся от систематик для всех рассмотренных случаев. Заметим, что ожидаемое значение $\lg W_0^{\text{кл}}(^{187}\text{Pb}) = -3,0$ приводит к оценке доли $\alpha(^{187}\text{Pb}) = 17\%$ при условии, что α -переход с $E_\alpha = 6,08$ МэВ является облегченным. Очевидно, следует уточнить и экспериментальные данные о распаде ^{189}Pb , которым соответствует значение $\lg W_0^{\text{кл}} = -3,56$ (табл. 4), приводящее к фактору запрета $\text{HF}_0^{(^{190}\text{Bi})} = 0,3$, заметно меньшему единицы. При распаде ^{210}At возникают два облегченных α -перехода (табл. 4), с учетом суммы $W_0^{\text{кл}}$ которых эффективное значение $\text{HF}_0^Z(^{210}\text{At}) = 2,4$ аномально большое. Для облегченного α -распада ^{210}At ожидаемое значение $\lg W_0^{\text{кл}} = -3,9$.

Таблица 4. Облегченные σ -переходы

Z	N	E_α	$T_{1/2}$	α	1 на 100 α -распадов	$-\lg W_0^{\text{кл}}$	$H_F^Z_0$	$H_F^N_0$	Литера- тура
90	122	7802(40)	30(30) MC	~ 100 a	—	2,84	—	—	[63]
	123	7692(10)	150(25) MC	~ 100 a	—	3,20	—	2,3	[5]
	124	7682(10)	125(25) MC	~ 100	—	3,11 *	—	—	[5]
	125	7677(10)	80(10) MC	~ 100	52(3)	2,92	—	2,2(6)	[5]
	126	7395(8)	1,2(2) c	100	—	3,44(8)	—	—	[5]
	126	7921(8)	28(2) MC	100	—	3,25(3)	—	—	[5]
	128	9680(20)	122(8) HC	100	—	2,47(3)	—	—	[5]
	129	9665(10)	96(7) HC	100(2)	—	2,36(3)*	—	—	[5]
	129	9340(20)	1,05(3) MKC	~ 100 a	—	2,69	—	2,1	[5]
	130	8790(20)	9,7(6) MKC	~ 100 a	—	2,34	—	—	[5]
89	120	7587(15)	0,10(5) c	~ 100 a	—	2,99	1,2	—	[5]
	121	7462(8)	0,35(5) c	~ 100 a	—	3,14	1,2	1,4	[5]
	122	7480(8)	0,25(5) c	~ 100 a	—	3,09	1,1	—	[5]
	123	7379(8)	0,93(5) c	~ 100 a	—	3,33	1,1	1,7	[5]
	124	7369(8)	0,80(5) c	~ 100 a	—	3,22	1,4	—	[5]
	125	7244(5)	8,2(2) c	≥ 86	52(2)	4,09	2,8	7,3	[5]
	125	7082(5)	8,2(2) c	≥ 86	44(2)	3,68	1,4	2,9	[5]
	126	7604(5)	0,47(1) c	99,91(2)	—	3,40(3)	1,07(6)	—	[5]
	128	9650(10)	411(7) HC	~ 100 a	—	2,64	1,3	—	[5]
	129	9224(15)	0,27(4) MKC	~ 100 a	—	2,09	0,3	0,3	[5]
88	130	8664(10)	7(2) MKC	~ 100 a	—	2,16	1,2	—	[5]
	148	7272(5)	0,4(2) c	~ 100 a	—	2,91	—	—	[5]
	119	7131(5)	1,3(2) c	~ 100 a	—	2,94	—	1,4	[5]
	120	7133(5)	1,2(2) c	~ 100 a	—	2,92	—	—	[5]
	121	7010(5)	4,7(2) c	~ 100 a	—	3,08	—	1,5	[5]
	122	7020(5)	3,8(2) c	~ 100 a	—	3,06	—	—	[5]
	123	6912(5)	45(2) c	~ 100 a	—	3,27	—	1,6	[5]
	124	6902(5)	13,0(2) c	~ 100 a	—	3,24	—	—	[5]
	125	6624(5)	2,75(15) МИН	80(5)	—	3,63(3)	—	2,7(2)	[5]
	126	7138(5)	2,46(3) c	99,944(4)	—	3,37(2)	—	—	[5]
128	9349(8)	0,182(10) MKC	100(1)	—	2,54(2)	—	—	—	[5]
	129	8994(10)	1,6(2) MKC	~ 100 a	—	2,66	—	1,3	[5]
130	8384(10)	14(2) MKC	~ 100 a	—	2,09	—	—	—	[5]

87	114	7388(45) 725(10)	48(45) MC 0,34(4) C	~100 a ~100 a	2,6 3,09	— —	[65] [65]
	115	7135(10)	0,55(2) C	~100 a	2,90	1,3	[65]
86	116	7027(5)	2,1(2) C	~100 a	3,29	1,3	[5]
	117	6967(5)	2,1(2) C	~100 a	3,46	1,9	[5]
85	118	6917(5)	3,96(4) C	~100 a	3,02	1,3	[66]
	119	6755(5)	16,0(1) C	85(2)	3,26(1)	1,3(3)	[5]
87	120	6761(5)	14,8(1) C	93(3)	3,42(1)	1,3(4)	[5]
	121	6636(5)	58,0(3) C	74(3)	3,31(2)	1,6(2)	[5]
88	122	6646(5)	50,0(3) C	89(3)	3,22(1)	1,3(2)	[5]
	123	6542(5)	3,18(6) МИН	81 ₆	3,49	1,3(2)	[5]
89	124	6534(5)	3,40(7) МИН	90 ₆	3,38	1,1	[5]
	125	6383(3)	20,6(3) МИН	44(5)	4,53(5)	6,2(8)	[67]
90	126	6262(4)	20,6(3) МИН	44(5)	3,88(7)	1,2(2)	[67]
	127	6775(5)	34,7(3) C	99,43(3)	3,568(6)	1,10(5)	[5]
91	128	9355(10)	0,12(2) МКС	~100	—	—	[5]
	129	9006(12)	0,70(2) МКС	~100 a	2,63	0,9	[5]
92	130	8315(8)	22(5) МКС	~100 a	2,4	1,2	[5]
	131	6945(10)	620(25) МС	~100 a	2,72	—	[68]
93	132	6900(10)	1,06(7) C	~100 a	2,72	—	[68]
	133	6724(8)	7,0(4) C	~80 ₈	2,98	—	[5]
94	134	6636(3)	9,9(2) C	~93 ₈	2,78	—	[5]
	135	6636(3)	9,9(2) C	~93 ₈	3,18(8)	—	[69]
95	136	6497(5)	42(2) C	45(8)	2,91(5)	—	[5]
	137	6417(3)	74(2) C	72(8)	3,13(9)	16(4)	[5]
96	138	6263(3)	170(4) C	23(5)	99,99	3,02(3)	[5]
	139	6260(3)	5,67(17) МИН	64(3)	99,99	3,11(4)	[5]
97	140	6126(3)	5,56(15) C	23(2)	99,2	3,11(4)	[5]
	141	6139(3)	23,5(5) МИН	67(3)	99,99	3,10(2)	[5]
98	142	6139(3)	1464(8) C	62(5)	99,99	3,23(4)	[5]
	143	6039(3)	28,5(10) МИН	17(2)	99,6	3,35(5)	[5]
99	144	6038(3)	144(6) МИН	96(1)	99,99	3,35(2)	[5]
	145	5783(3)	900(30) МИН	26(1)	63(4)	2,4(1)	[5]
100	146	6264(3)	23(1) МИН	100	99,95	3,33(2)	[5]
	147	9035(10)	0,27(2) МКС	100	—	2,63(3)	[5]
101	148	8674(8)	2,30(10) МКС	100	—	2,67(2)	[5]
	149	8049(10)	45(5) МКС	100	—	2,34(5)	[5]
102	150	7055(7)	0,3(1) C	~100 a	3,06	1,1	[5]
	151	6959(5)	0,4(1) C	~100 a	2,84	—	[5]

Приложение к табл. 4

Z	N	E_α	$T_{1/2}$	α	1 на 100 α -распадов	$-\lg W_0^{KJ}$	Hf_0^Z	Hf_0^N	Литера- тура
113	6748(5)	4,9(5) c	100(10)	—	3,22(6)	2,4(4)	2,4	[5, 65]	
114	6639(5)	7,2(5)c	~ 100	—	2,98	1,1	—	[5]	
115	6463(5)	42(2) c	53(8)	60(11)	3,58(7)	2,5(4)	3,9(7)	[5]	
115	6412(5)	42(2) c	53(8)	40(8)	3,54(6)	2,3(4)	3,6(7)	[5]	
116	6342(5)	1,50(7) мин	74(2)	—	3,06(5)	1,1(2)	—	[5]	
117	6133(3)	3,0(1) мин	12,0(8)	64(2)	3,50(3)	1,2(1)	2,8(4)	[69]	
	6226(3)	3,0(1) мин	12,0(8)	36(2)	4,26(4)	5,3(6)	12(2)	[69]	
118	6088(4)	7,4(3) мин	13,8(6)	—	3,44(3)	1,7(2)	—	[5]	
119	5952(2)	9,3(3) мин	4,5(4)	—	3,41(4)	0,3(3)	0,9(1)	[5]	
120	5899(4)	26,2(5) мин	10(2)	—	3,28(9)	0,9(2)	—	[5]	
121	5703(2)	29,3(4) мин	0,88(8)	—	3,57(4)	2,7(6)	2,0(5)	[5]	
122	5759(3)	106(3) мин	10 _B	—	3,31	0,74(6)	—	[5]	
123	5641(3)	1,63(3) ч	0,55(5)	96,9(3)	4,00(14)	1,6(4)	5,0(5)	[5]	
124	5647(2)	5,41(50) ч	4,1(5)	99,9	3,67(7)	1,1(2)	—	[5]	
125	5443(1)	8,3 ч	0,18(2)	28,4(15)	4,75(5)	9(1)	13(4)	[67]	
125	5361(1)	8,3 ч	0,18(2)	27,8(20)	4,33(6)	3,2(4)	5(1)	[67]	
126	5866(2)	7,214(7) ч	41,94(50)	99,99	3,87(1)	1,40(3)	—	[5]	
128	9080(12)	0,11(2) МКС	100	—	2,64(8)	0,8(2)	—	[5]	
130	8026(4)	0,10(2) МС	~ 100 a	99,95(2)	2,93	2,3	—	[5]	
	7170(20)	34(3) МС	~ 100	—	2,90	—	—	[70]	
108	6940(20)	360(50) МС	~ 100 a	—	3,11	—	1,6	[70]	
109	6847(10)	440(30) МС	~ 100 a	—	2,86	—	—	[5, 70]	
110	6624(8)	4,5(5) c	~ 100 a	—	3,06	—	1,6(4)	[5]	
112	6524(4)	5,5(5) c	~ 100 a	—	2,79	—	—	[5]	
	6280(5)	52(4) c	90(10)	—	2,90(5)	—	1,3(2)	[5]	
113	6185(5)	1,78(5) мин	70(8)	—	2,93(5)	—	—	[5]	
114	5952(2)	324(20) c	12(2)	—	3,48(8)	—	1,8(4)	[5]	
115	5861(5)	675(15) c	14(2)	—	3,02(6)	—	—	[5]	
	5685(4)	905(25) c	1,6(3)	—	3,27(8)	—	1,8(4)	[5]	
117	5685(4)	15,8(3) мин	1,45(10)	—	3,43(4)*	—	2,6(4)	[5]	
118	5588(2)	45,0(15) мин	2,00(15)	—	3,21(5)	—	—	[5]	
119	5384(3)	33(1) мин	0,11(2)	—	3,31(8)	—	1,3(3)	[5]	
120	5377(1)	3,53(3) ч	0,62(6)	—	3,34(4)	—	—	[5]	

121	5220(10)	1,80(4) ч	0,074(16)	3,45(5)*	0,7(1)	[5]
121	5220(10)	1,80(4) ч	0,49(6)	2,33(5)	0,10(1)	[5]
122	5224(2)	8,83 сут	5,2(4)	3,43(3)*	2	[5]
123	5145(2)	5,7(3) ч	0,014(3)	3,84(1)	4,6(6)	[5]
123	5145(2)	5,7(3) ч	0,008(1)	4,05(6)	4,2(7)	[5]
124	5146(2)	2,8976(16) года	99,82(1)	3,62(4)	1	[5]
125	4882(3)	102(5) года	99,74(3)	3,82(2)	6(1)	[5]
126	5304,51(7)	138,3763(17) сут	100	3,83(1)	—	[5]
128	8784,37(7)	0,296(2) мес	100	2,72(4)	—	[5]
129	8375(4)	4,2(8) мес	100	2,83(8)	1,3(2)	[5]
130	7687,09(6)	164,3(17) мес	100	2,56(8)	—	[5]
102	6632(10)	0,55(6) ч	~ 100	2,87	—	[53]
103	6406(15)	4,4(3) ч	~ 100 a	3,49	2,4	[71]
104	6335(10)	4,7(1) ч	100	2,69	—	[53]
105	6080(20)	17,4 ч	~ 4	3,63(10)	8,7	[5]
106	5980(5)	22(2) ч	22(7)	2,59(15)*	—	[53]
106	5980(10)	24,2(5) ч	3,3(11)	3,46(15)	9(5)	[5]
107	5720(10)	51,3 ч	0,42(15)	3,56(16)	—	[53]
108	5577(5)	1,2(1) мин	0,9(2)	2,68(10)*	—	[5]
108	5580(10)	1,2(2) мин	0,21(7)	3,34(16)	—	[5]
109	5290(20)	1,3(3) мин	1,35(5) · 10 ⁻²	3,13(20)	—	[5]
110	5142(5)	3,5(1) мин	5,7(10) · 10 ⁻³	2,97(8)*	3(1)	[53]
110	5142(5)	2,3(5) мин	6,9(24) · 10 ⁻³	2,67(18)	—	[5]
128	3720(20)	22,26(22) года	1,7(3) · 10 ⁻⁶	3,47(8)	—	[5]
95	6860(20)	20 ⁽⁴⁰⁾ мс	~ 100 a	2,91	—	[72]
96	6750(20)	34 ⁽¹⁸⁾ мс	~ 100 a	2,78	—	[72]
97	6580(10)	0,17(5) ч	~ 100 a	2,93	—	[73]
101	6003(15)	3,6(3) ч	26(4)	87(13)	1,4	[5]
102	5867(5)	11,3(5) ч	15(2,8)	2,69(9)	—	[71]
103	5905(15)	8,8(5) ч	10(6,2)	2,80(3)	—	[5]
104	5535(15)	32,5(10) ч	1,11(6)	3,03(3)	1,7	[5]
105	5652(15)	48,0(15) ч	≥ 4,6	2,91(2)	—	[5]
106	5094(15)	1,42(40) мин	96	3,04	1,3	[5]
94	6720(20)	59 ⁽⁴⁸⁾ мс	~ 100 a	2,97(14)	—	[72]
95	6550(20)	120 ⁽²⁾ мс	~ 100 a	3,28	5,6	[72]
96	6440(10)	200 ⁽²²⁾ мс	~ 100 a	2,94	2,2	[72]
102	5623(5)	11,5(10) ч	1,4(3)	2,85	3,5	[72]
104	5343(5)	42(4) ч	0,30(5)	3,56(12)	8,6	[5]
9				55	3,47(8)	[5]

9 *

Продолжение табл. 4

Z	N	E_α	$T_{1/2}$	α	1 на 100 α -распадов	$-\lg W_0^{\text{кл}}$	$H_F_0^Z$	$H_F_0^N$	Литера- тура
78	105	5172(15)	53,0(14) с	$1,1(3) \cdot 10^{-2}$	—	3,77(12)	1,3	4(1)	[5]
	106	5070(15)	4,2(3) мин	0,3(20)	—	3,04(3)	1,8	—	[5]
	91	6678(45)	2,5(1,0) мс	~ 100 а	—	2,41	—	—	[74]
	92	6545(8)	6,5(2) мс	~ 100 а	—	2,05	—	—	[74]
	93	6453(4)	40(40) мс	~ 100 а	—	2,56	—	—	[75]
	94	6314(4)	120(10) мс	—	—	2,54	—	—	[75]
	95	6205(3)	325(20) мс	—	—	2,60	—	—	[73, 75]
	96	6043(5)	0,7(2) с	88(10)	—	2,30(13)	—	—	[5, 73]
	97	5960(10)	2,52(8) с	55(5)	—	2,79(4)	—	—	[5]
	98	5750(15)	6,33(15) с	42(4)	—	2,42(4)	—	—	[5]
	99	5525(20)	11(2) с	5,9(5)	—	2,51(9)	—	—	[5]
	100	5458(5)	19(2) с	7,5(3)	—	2,40(5)	—	—	[74]
	101	5150(10)	33(4) с	0,27(4)	—	2,64(8)	—	—	[5, 74]
	102	5139(19)	50(5) с	$\sim 0,3$	—	2,63	—	—	[5]
	103	5020(20)	51(5) с	$\sim 6 \cdot 10^{-2}$	—	2,71	—	1,2	[5]
	104	4840(20)	2,(6)1 мин	$\sim 2,3 \cdot 10^{-2}$	—	2,64	—	—	[5]
76	105	4730(20)	6,5(10) мин	$\sim 1,3 \cdot 10^{-3}$	—	3,66	—	—	[5]
	106	4500(20)	17,3(2) мин	$\sim 10^{-3}$	—	2,79	—	—	[5]
	108	4230(20)	2,0(1) ч	$\sim 1,4 \cdot 10^{-4}$	—	2,72	—	—	[5]
	110	3930(10)	10,2(3) сут	$3,0(6) \cdot 10^{-6}$	—	3,27(8)	—	—	[5]
	112	3180(20)	$5,4(6) \cdot 10^{11}$ лет	100	—	—	—	—	[5]
	88	6320(20)	41(20) мс	100(70)	—	2,83 ⁵⁷ ₂₄	—	—	[74]
	89	6164(10)	65,70 мс	100(40)	—	2,46 ³⁹ ₃₉	—	—	[74]
	90	5981(6)	181(38) мс	72(13)	—	2,36(12)	—	—	[74]
	91	5836(5)	1,05(35) с	58(12)	—	2,64(17)	—	—	[74]
	96	5105(10)	19(2) с	$\leqslant 0,3$	—	2,91	—	—	[5]
	97	4940(10)	16,0(5) с	0,021 ¹³ ₁₅	—	3,14	—	—	[5]
	98	4760(10)	45,5(5) с	0,020 ¹⁰ ₁₄	—	2,62 ¹⁸ ₁₀	—	—	[5]
	110	2760	2,0(1) $\cdot 10^{-15}$ лет	100	—	3,05 ⁹² ₉₂	—	—	[5]
75	88	5948(6)	260(40) мс	64(18)	—	2,71 ¹² ₁₇	1,8	—	[74]
	90	5506(40)	2,4(6) с	13(3)	—	2,67 ¹³ ₁₈	1,3	—	[74]
	85	6299(6)	7,3(27) мс	~ 100	—	2,78	—	—	[74]
74	86	5920(10)	81(15) мс	94(40)	—	2,45(19)	—	2,3	[74]

Продолжение табл. 4

Z	N	E_α	$T_{1/2}$	α	1 на 100 α -распадов	$-\lg W_0^{\text{KJ}}$	HF_0^Z	HF_0^N	Литера- тура
65	88	2872(5)	$1,0(4) \cdot 10^7$ лет	100	—	3,20(20)*	—	—	[5]
	88	2872(5)	$7,3(44) \cdot 10^6$ лет	100	—	3,06(26)*	—	—	[5]
	84	3967(3)	$4,10(5)$ ч	16,7(14)	99,99	5,4(45)	—	—	[5]
	84	3967(3)	$4,10(5)$ ч	22,6(23)	99,99	3,8(11)	52	—	[5]
64	85	3492(5)	$3,15(20)$ ч	$3,9(30) \cdot 10^{-4}$	—	4,43 ⁴⁸ ₆₆	—	—	[5]
	86	3409(5)	$17,5(7)$ ч	$9,5(45) \cdot 10^{-3}$	—	3,45(77)	8(1)	—	[5]
	84	3183(2)	97,5(65) года	100	—	2,53(3)	—	—	[5]
	85	3018(5)	9,5(3) сут	$4,6(15) \cdot 10^{-4}$	—	2,71(14)	—	1,45(5)	[5]
63	86	2745(18)	$1,78(8) \cdot 10^6$ лет	100	—	2,23(2)	—	—	[5]
	87	2600(30)	120(20) сут	$8 \cdot 10^{-7}$	—	2,21	—	1	[5]
	88	2140(30)	$1,08(8) \cdot 10^{14}$ лет	100	—	2,25(3)	—	—	[5]
	84	2908(5)	24,6(4) сут	$1,1(8) \cdot 10^{-7}$	—	2,47 ²⁴ ₆₇	—	—	[5, 64]
62	85	2630(30)	54(1) сут	$9,4(28) \cdot 10^{-7}$	—	2,88(13)	3(1)	2,6	[5]
	84	2460(20)	$7,4(15) \cdot 10^7$ лет	100	—	2,26(9)	—	—	[5]
	85	2233(5)	$1,06(2) \cdot 10^{11}$ лет	100	—	2,35(1)	—	1,2(3)	[5]
	86	1960(20)	$7(3) \cdot 10^{15}$ лет	100	—	2,78(19)	—	—	[5]
61	84	2240(40)	$17,7(4)$ года	$2,8 \cdot 10^{-7}$	—	2,07	—	—	[5, 26]
	60	84	1849(3)	$2,1(4) \cdot 10^{16}$ лет	100	—	2,06(8)	—	[23, 24]
	55	59	3239(30)	$0,57(2)$ с	$1,8(6) \cdot 10^{-2}$	—	2,53(45)	3(1)	[24]
	53	57	3444(10)	$0,65(2)$ с	$17(4)$	—	2,23(10)	—	[24]
52	55	3833(15)	$3,6(4) \cdot 10^{-3}$ с	70(30)	—	2,16 ²¹ ₂₇	—	—	[24]
	56	3320(20)	$2,4(1)$ с	68(12)	—	1,95(8)	—	—	[24]
	57	3080(15)	$4,1(2)$ с	3,9(13)	—	1,82(45)	—	0,8(3)	[24]

Приимечание. а — Доля α -распада принятая равной 100%; б — расчетные значения доли α -распада; в — оценка; * — предпочтительное значение; ** — доля α -распада скорректирована при анализе экспериментальных данных из [5].

Таблица 5. Предсказанные значения спектроскопических факторов и долей α облегченного α -распада

Z	N	Эксперимент $-\lg W_0^{\text{KL}}$	Предсказания	
			$-\lg W_0^{\text{KL}}$	$\alpha, \%$
90	129	2,69	2,54	—
89	129	2,09	2,55	—
88	129	2,66	2,51	—
85	130	2,92	2,65	—
85	128	2,64(8)	2,80	—
85	125	4,19(6)	3,90	—
85	122	3,30	3,60	5
85	118	3,44(3)	3,30	19
85	113	3,22(6)	2,90	—
84	125	3,82(2)	4,0	—
84	124	3,15(5)	3,50	0,03
82	109	3,13(20)	2,85	0,02
82	107	3,56(16)	2,90	—
82	105	3,63(10)	3,00	2
74	89	2,16(6)	2,60	17
72	88	1,98	2,40	—
62	86	2,78(19)	2,2	—

В случае другого нечетно-нечетного изотопа ^{198}At аномально малое значение W_0^{KL} ($\lg W_0^{\text{KL}} = -3,22$) приводит к существенно завышенным факторам запрета HF_0^Z и HF_0^N . Ожидаемое значение $\lg W_0^{\text{KL}} = -2,9$ может служить указанием на возможное существование второго облегченного α -перехода у ^{198}At , подобно ^{210}At и ^{212}Fr (см. разд. 3, п. 3).

Изотоп ^{192}Bi имеет значение $\lg W_0^{\text{KL}} = -2,70$ и соответственно нейтронный фактор запрета $\text{HF}_0^N = 0,7$ (табл. 3), который не согласуется с общей систематикой факторов запрета HF_0^N . Ожидаемое значение $\lg W_0^{\text{KL}} = -2,9$ оказывается близким к прежнему экспериментальному значению $\lg W_0^{\text{KL}} = -2,86$ [51]. Используя значение $\lg W_0^{\text{KL}} (^{192}\text{Bi}) = -2,9$ и экспериментальное значение $\lg W_0^{\text{KL}} (^{191}\text{Pb}) = -3,13$ (табл. 4), можно рассчитать протонный фактор запрета $\text{HF}_0 (^{192}\text{Bi}) = 0,6$, который не согласуется с систематикой. Поэтому для изотопа ^{191}Pb предпочтительнее значение $\lg W_0^{\text{KL}} = -2,85$, которое приводит к оценке ожидаемой доли α -распада $2 \cdot 10^{-2} \%$, согласующейся с верхней экспериментальной оценкой доли с учетом погрешности (табл. 4).

В области редкоземельных элементов рассмотрим ^{160}Hf , значение $\lg W_0^{\text{KL}} = -1,99$ для которого представляется завышенным по систематике зависимостей $W_0^{\text{KL}} (Z, N)$. Аномальные характеристики для облегченного α -распада имеют и ^{148}Sm , экспериментальное значе-

ние $\lg W_0^{\text{кл}} = -2,78$ которого противоречит общей тенденции увеличения $W_0^{\text{кл}}(N)$ при переходе от $N = 84$ к $N = 86$.

Кроме рассмотренных выше, имеется еще более десяти изотопов с аномальными экспериментальными значениями кластерных спектроскопических факторов и факторов запрета (табл. 3—5), уточнение и перепроверка экспериментальных данных для которых представляет существенный интерес.

ЗАКЛЮЧЕНИЕ

В данной работе были решены две основные задачи. Во-первых, на единой основе в терминах величин, являющихся устойчивыми к выбору параметров теории, проведен анализ всего имеющегося экспериментального материала по α -распаду тяжелых ядер. Этот анализ позволил убедиться во внутренней согласованности большей части массива экспериментальных данных и дать предсказания в случаях, где целесообразна дополнительная проверка измеренных величин. Во-вторых, полученные в указанном анализе кластерные спектроскопические факторы α -частиц были использованы для проверки возможностей теории при описании имеющейся совокупности экспериментальных данных по α -распаду. Теоретический подход, основанный на использовании оболочечной модели с учетом эффектов спаривания и смешивания конфигурации, а также на предложенном ранее методе интерполяции между оболочечной и кластерной областями, позволил не только объяснить и обосновать классификацию α -переходов, поведение относительных вероятностей α -распада и факторов запрета, но и, что более важно, воспроизвести абсолютные ширины α -распадов.

Предложенное в данной работе новое определение факторов запрета НГ позволило теснее связать классификацию α -переходов по значениям НГ с механизмом α -распада и структурой начальных и конечных состояний ядер.

В процессе детального теоретического анализа экспериментальных данных был получен интересный физический вывод об исчезновении магической щели в протонной подсистеме с $Z = 82$ при переходе к сильнонейтронодефицитным ядрам, у которых $102 \leq N \leq 112$. Этот вывод согласуется с результатом работы [79], основанном на изучении поведения приведенных ширин α -распадов. В то же время он дополнительно подтверждается проведенным выше рассмотрением зависимости энергии отделения α -частицы $Q_\alpha(N, Z)$, исследованием особенностей α -переходов в изотопах Bi, а также анализом [48] положения уровней $9/2^-$ и $1/2^+$ в спектрах возбуждения ядер Bi и Tl. Попытки объяснить исчезновение магичности ядер с числом протонов $Z = 82$ введением равновесной деформации могут быть поставлены под сомнение в свете того факта [62], что нижайшие состояния 2^+ в четно-четных нейтронодефицитных изотопах Pb лежат при энергиях возбуждения около 1 МэВ. Это свидетельствует о жесткости формы

рассматриваемых ядер и заставляет думать о заметной перестройке самосогласованного поля при сохранении его сферичности. Определенные указания на справедливость последнего заключения получены в теоретической работе [80].

Следует подчеркнуть, что удовлетворительное согласие полученных в [62] экспериментальных характеристик со сделанными ранее предсказаниями [48] для α -переходов в нейтронодефицитных изотопах висмута подтверждает плодотворность использованной в [48] методики анализа данных по α -распаду.

В заключение представляется полезным выделить наиболее актуальные направления дальнейших экспериментальных исследований. Во-первых, интересно продолжить изучение α -распада нейтронодефицитных изотопов таллия, свинца, висмута с целью уточнения имеющейся и получения дополнительной информации об изменении свойств ядер при удалении от долины β -стабильности. Во-вторых, с целью более систематического изучения полуоблегченного и необлегченного α -распадов очень важно расширить круг нечетных и нечетно-нечетных ядер, в которых можно обнаружить несколько α -переходов. Наконец, в-третьих, необходимо подвергнуть экспериментальной проверке сделанные выше для ряда конкретных ядер предсказания.

СПИСОК ЛИТЕРАТУРЫ

1. Перлман И., Расмуссен Дж. Альфа-радиоактивность: Пер. с англ. М.: Изд-во иностр. лит., 1964.
2. Расмуссен Дж.//Альфа-, бета- и гамма-спектроскопия. Вып. 2. Пер. с англ./Под ред. К. Зигбана. М.: Атомиздат, 1969. С. 137—178.
3. Хайд Э., Перлман И., Сиборг Г. Ядерные свойства тяжелых элементов. Вып. 3. Ядерные модели и тяжелые ядра. Дважды магические ядра: Пер. с англ./Под ред. Г. Н. Флерова. М.: Атомиздат, 1968.
4. Кадменский С. Г., Фурман В. И. Альфа-распад и родственные ядерные реакции. М.: Энергоатомиздат, 1985.
5. Table of Isotopes 7th/Ed. C. M. Lederer, V. S. Shirley, E. Browne e. a. N.Y.: Wiley, 1978.
6. Соловьев В. Г. Теория атомного ядра. М.: Энергоиздат, 1981.
7. Hornshoj P., Hansen P. G., Jonson B. e.a.//Nucl. Phys. A. 1974. Vol. 230. Р. 365—379.
8. Афанасьев В. П., Батист Л. Х., Берлович Э. И. и др. Препринт ЛИЯФ № 532, Л., 1979.
9. Mang H. J.//Z. Phys. 1957. Bd 148. S. 572—586; Phys. Rev. 1960. Vol. 119. Р. 1069—1075.
10. Rasmussen J.//Phys. Rev. 1959. Vol. 113. Р. 1593—1598; Vol. 115. Р. 1675—1678.
11. Rasmussen J.//Nucl. Phys. 1963. Vol. 44. Р. 93—106.
12. Zeh H. D.//Z. Phys. 1963. Bd 175. S. 490—505; Zeh H. D., Mang H. J.//Nucl. Phys. 1962. Vol. 29. Р. 529—543.
13. Harada K.//Progr. Theoret. Phys. 1961. Vol. 26. Р. 667—679.
14. Carjan N., Sandulescu A.//Z. Naturforsch. a. 1971. Bd 313. S. 1389—1391.
15. Harada K., Rauscher E. A.//Phys. Rev. 1968. Vol. 169. Р. 818—824.
16. Кадменский С. Г., Калечиц В. Е.//ЯФ. 1970. Т. 12. С. 70—78.
17. Кадменский С. Г., Калечиц В. Е., Мартынов А. А.//ЯФ. 1972. Т. 16. С. 717—724; 1973. Т. 17. С. 75—81.

18. Furman V. I., Holan S., Kadmensky S. G. e.a.//Nucl. Phys. A. 1974. Vol. 226, P. 131—141.
19. Кадменский С. Г., Фурман В. И.//ЭЧАЯ. 1975. Т. 6. С. 469—514.
20. Кадменский С. Г., Фурман В. И.//Материалы XIII Зимней школы ЛИЯФ. Л.: ЛИЯФ, 1978. С. 59—94.
21. Furman V. I., Holan S., Kadmensky S. G., Stratan G. JINR E4-11286, Dubna, 1978.
22. Kadmensky S. G.//Z. Phys. A. 1983. Vol. 312. P. 113—120.
23. Roeckl E., Gowdy G. M., Kirchner R. e.a.//Z. Phys. A. 1980. Vol. 294. P. 221—232.
24. Schardt D., Batsch T., Kirchner R. e.a.//Nucl. Phys. A. 1981. Vol. 368. P. 153—162.
25. Кравцов В. А. Массы атомов и энергии связи ядер. М.: Атомиздат, 1974.
26. Wapstra A. H., Bos K.//Atomic Data and Nucl. Data Tabl. 1977. Vol. 19. P. 177—298.
27. Gamov G.//Z. Phys. 1928. Bd 51. S. 204—211.
28. Condon E. V., Gurney R. W.//Nature. 1928. Vol. 122. P. 439—445.
29. Лейн Л., Томас Р. Теория ядерных реакций при низких энергиях: Пер. с англ. М.: Изд-во иностр. лит., 1960.
30. Thomas R.//Prog. Theoret. Phys. 1954. Vol. 12. P. 253—264.
31. Igo G.//Phys. Rev. 1959. Vol. 115. P. 1665—1674.
32. Кадменский В. Г., Кадменский С. Г., Хлебостроев В. Г. и др.//Acta Phys. Polon. 1982. Vol. B13. P. 885—894.
33. Кадменский С. Г., Кургалин С. Д., Фурман В. И. и др.//ЯФ. 1981. Т. 33. С. 573—575.
34. Попов Ю. П.//ЭЧАЯ. 1982. Т. 13. С. 1165—1202.
35. Satchler G. R., Love W. G.//Phys. Repts. 1979. Vol. 55. P. 183—202.
36. Fröman P. O.//Mat.-fys. medd. Kgl. danske vid. selskab. 1957. Vol. 1, N3.
37. Носов В. Г.//ЯФ. 1967. Т. 6. С. 44—61.
38. Бор О., Моттельсон Б. Структура атомного ядра. Т. 2: Пер. с англ. М.: Мир, 1977.
39. Кадменский С. Г., Ратис Ю. Л., Фурман В. И. и др.//ЯФ. 1978. Т. 27. С. 630—637.
40. Кадменский С. Г., Кургалин С. Д.//Изв. АН СССР. Сер. физ. 1980. Т. 49. С. 1966—1973.
41. Соловьев В. Г.//ДАН СССР. Сер. физ. 1962. Т. 144. С. 1281—1284.
42. Mang H. J., Rasmussen J. O.//Mat.-fys. medd. Kgl. danske vid. selskab. 1962. Vol. 2, N 3.
43. Кадменский С. Г., Рыбак К. С.//ЯФ. 1974. Т. 19. С. 971—978.
44. Кадменский С. Г., Рыбак К. С., Фурман В. И.//ЯФ. 1976. Т. 24, С. 501—503; 1978. Т. 27. С. 906—915.
45. Мицгал А. Б. Теория конечных ферми-систем и свойства атомных ядер. М.: Наука, 1966.
46. Tonozuka I., Arima A.//Nucl. Phys. A. 1979. Vol. 323. P. 45—60.
47. Громов К. Я., Головков Н. А., Вахтель В. М. и др.//Материалы 15 съезда по ядерной спектроскопии и теории атомного ядра. ОИЯИ Д6-11574. Дубна, 1978. С. 53—54.
48. Вахтель В. М., Кадменский С. Г., Мартынов А. А. и др.//ЯФ. 1978. Т. 28. С. 1241—1248.
49. Григорьев Е. П., Соловьев В. Г. Структура четных деформированных ядер. М.: Наука, 1974.
50. Newton J. O., Stephens F. S., Diamond R. M.//Nucl. Phys. A. 1974. Vol. 236. P. 225—251.
51. De Виклавик В., Вье Ш., Дионисио И. С.//Изв. АН СССР. Сер. физ. 1976. Т. 40. С. 2057—2064.
52. Артамонов С. А., Исаков В. И., Оглоблин С. Г. и др.//ЯФ. 1984. Т. 39. С. 328—340.

53. Toth K. S., Ellis-Akovali Y. A., Bingham C. R. e.a.//Proc. of AMCO-7, Darmstadt, 1984. P. 265—271.
54. Чумин В. Г., Вахтель В. М., Кадменский С. Г. и др.//Материалы 15 Совещания по ядерной спектроскопии и теории атомного ядра. ОИЯИ Д6-11574. Дубна, 1978. С. 47—48.
55. Вахтель В. М., Головков Н. А., Иванов Р. Б. и др.//Изв. АН СССР. Сер. физ. 1981. Т. 45. С. 1966—1975.
56. Вахтель В. М., Кадменский С. Г., Ломаченков И. А. и др.//ЯФ. 1983. Т. 38. С. 1403—1415.
57. Shihab-Eldin A. A., Jardine L. J., Rasmussen J. O.//Nucl. Phys. A. 1975. Vol. 244. P. 435—448.
58. Furman V. I., Holan S., Stratan G. JINR E4-11287, Dubna, 1978.
59. Артамонов С. А., Исаков В. И., Кадменский С. Г. и др.//ЯФ. 1982. Т. 36. С. 829—840.
60. Ma C. W., True W. W.//Phys. Rev. 1973. Vol. C8. P. 2313—2332.
61. Исаков В. И., Артамонов С. А., Слив Л. А.//Изв. АН СССР. Сер. физ. 1977. Т. 41. С. 2074—2089.
62. Coenen E., Denefle K., Huyse M. e.a.//Proc. of 7th Intern. Conf. Atom. Mass. AMCO-7, Darmstadt, 1984. P. 272—278.
63. Vermeulen D., Clerc H. G., Lang W. e.a.//Z. Phys. A. 1980. Vol. 294. P. 149—152.
64. Hagan J. J.//Radiochim. Acta. 1980. Vol. 27. P. 73—74.
65. Ewan G. T., Hagberg E., Jonson B. e.a.//Z. Phys. A. 1980. Vol. 296. P. 223—228.
66. Ritchie B. G., Toth K. S., Carter H. K. e.a.//Phys. Rev. C. 1981. Vol. 23. P. 2342—2347.
67. Вахтель В. М., Головков Н. А., Иванов Р. Б. и др.//Изв. АН СССР. Сер. физ. 1981. Т. 45. С. 1861—1864.
68. Calaprice F., Ewan G. T., Von Dincklage R. D.//Phys. Rev. C. 1985. Vol. 30. P. 1671—1674.
69. Gauvin H., Le Beyec Y., Livet J. e.a.//Ann. Phys. 1975. Vol. 9. P. 241—270.
70. Leino M. E., Yashita S., Ghiorso A.//Phys. Rev. C. 1981. Vol. 24. P. 2370—2373.
71. Schrewe U. J., Tidemand-Petersson P., Gowdy G. M. e.a.//Phys. Lett. B. 1980. Vol. 91. P. 46—50.
72. Schneider J. R. H., Hofman S., Hepberger F. P. e.a.//Z. Phys. A. 1983. Vol. 312. P. 21—26.
73. Hornshoj P., Hansen P. G., Hagberg E. e.a.//Proc. 3rd Intern. conf. on nuclei far from stability. 12—26 May, 1976. Geneva, 1976. P. 171—174.
74. Hofman S., Münzenberg G., Hepberger F. P. e.a.//Z. Phys. A. 1981. Vol. 299. P. 281—282.
75. Della Negra S., Deprun C., Jacquet D. e.a.//Z. Phys. A. 1981. Vol. 300. P. 251—252.
76. Hofman S., Faust W., Münzenberg G. e.a.//Z. Phys. A. 1979. Vol. 291. P. 53—70.
77. Toth K. S., Ellis-Akovali Y. A., Moltz D. M. e.a.//Phys. Lett. B. 1982. Vol. 117. P. 11—14.
78. Hagberg E., Hansen P. G., Hardy J. C. e.a.//Nucl. Phys. A. 1977. Vol. 293. P. 1—9.
79. Toth K., Ellis-Akovali Y. A., Bingham C. R. e.a.//Phys. Rev. Lett. 1984. Vol. 53. P. 1623—1626.
80. Sorensen R. A.//Nucl. Phys. A. 1984. Vol. 420. P. 221—236.